

COMUNE DI MASSA
Provincia di Massa Carrara



PROGETTO:

STUDIO IDROLOGICO E IDRAULICO PER LA REVISIONE DELLA PERICOLOSITA'
IDRAULICA DEI PRINCIPALI CORSI D'ACQUA NEL COMUNE DI MASSA

OGGETTO:

RELAZIONE INTEGRATIVA

RELAZIONE:

01

REV:

00

DATA:

Maggio 2010

SCALA:

-

NUMERO COMMESSA:

L523

NOME FILE:

Relazione_I.pdf



Via Bonifacio Lupi, 1
50129 - Firenze

PROGETTISTA:

Dott. Ing. David Settesoldi

COLLABORATORI:

Dott. Ing. Andrea Badiani
Dott. Silvia Angelini

02

01

00 07/05/10

PRIMA EMISSIONE

REV. DATA

DESCRIZIONE MODIFICHE

COMUNE DI MASSA
PROVINCIA DI MASSA CARRARA

**STUDIO IDROLOGICO E IDRAULICO PER LA REVISIONE DELLA PERICOLOSITA'
IDRAULICA DEI PRINCIPALI CORSI D'ACQUA NEL COMUNE DI MASSA**

RELAZIONE INTEGRATIVA

Physis – Ingegneria per l'Ambiente

Firenze, Maggio 2010

ELENCO ELABORATI

RELAZIONE

ALLEGATO A – Caratteristiche modello e tabulati verifiche idrauliche

ALLEGATO B – Sezioni fluviali e livelli idrici

TAVOLA 1 – Reticolo idrografico, sezioni fluviali, punti di immissione, connessioni idrauliche e DTM

TAVOLA 2.1 – 2.2 – 2.3 – Profili longitudinali allo stato attuale

TAVOLA 3 – Battenti idrici Ricortola allo stato attuale

TAVOLA 4 – Battenti idrici Brugiano allo stato attuale

TAVOLA 5 – Battenti idrici Frigido allo stato attuale

TAVOLA 6 – Battenti idrici Magliano allo stato attuale

TAVOLA 7 – Battenti idrici Poveromo allo stato attuale

TAVOLA 8 – Battenti idrici Canalmagro allo stato attuale

TAVOLA 9 – Battenti idrici per $Tr = 20$ anni allo stato attuale

TAVOLA 10 – Battenti idrici per $Tr = 30$ anni allo stato attuale

TAVOLA 11 – Battenti idrici per $Tr = 200$ anni allo stato attuale

TAVOLA 12 – Carta delle aree inondabili allo stato attuale

TAVOLA 13 – Carta della pericolosità idraulica allo stato attuale

INDICE

1. PREMESSA.....	3
2. ANALISI DELLE OSSERVAZIONI	4
2.1. PERICOLOSITÀ IDRAULICA E AREE ASIP	4
2.2. COERENZA CON IL PROGETTO DI MESSA IN SICUREZZA DEL FOSSO BRUGIANO.....	4
2.3. CRITERI E METODOLOGIE PER LA DETERMINAZIONE DELLA PORTATA	8
2.4. TRASLAZIONE DELLA PORTATA IDROLOGICA FINO ALLA FOCE E AREE INONDABILI PER SINGOLO CORSO D'ACQUA	10
2.5. PERICOLOSITÀ IDRAULICA DEL FOSSO LAVELLO.....	14
2.6. DEFINIZIONE DELLE AREE INONDABILI.....	14
2.7. VERIFICA SEZIONI FIUME FRIGIDO E CANALE DELLA FOCE (TORRENTE RICORTOLA).....	14

ELENCO TABELLE

<i>Tabella 2-1 – Parametri del modello idrologico utilizzati per i vari bacini.</i>	<i>8</i>
Tabella 2-2 – Confronto portate studi precedenti.....	9

ELENCO FIGURE

Figura 2-1 – Confronto modello PS e modello progetto Brugiano.....	6
Figura 2-2 – Reticolo di progetto del fosso Brugiano.....	7
Figura 2-3 – Fosso Bruciano – stato di progetto - Aree inondabili e battenti idrici per il tempo di ritorno di 200 anni.....	7
Figura 2-4 – Tratti fluviali oggetto di verifica.....	13

1. PREMESSA

La presente relazione è finalizzata a rispondere alla richiesta di integrazione agli studi a supporto del Piano Strutturale del comune di Massa della Autorità di Bacino di Rilievo regionale Toscana Nord del 17/06/2009 prot. 159644/P-80-10-10.

Le integrazioni trattate nella presente relazione sono le seguenti:

- Pericolosità idraulica e aree ASIP;
- Coerenza tra lo studio idrologico del fosso Brugiano allegato al PS con il precedente studio già presentato dal comune di Massa relativo alle “Opere di risanamento idrogeologico dell’area compresa tra la linea di costa, il tracciato ferroviario GE-PI. Il torrente Ricortola e il fiume Frigido (Comprensorio di bonifica del Brugiano) ed approvato dalla Autorità di Bacino;
- Criteri e metodologie per la determinazione della portata;
- Traslazione della portata idrologica fino alla foce;
- Aree inondabili per singolo corso d’acqua;
- Pericolosità idraulica del fosso Lavello;
- Definizione delle aree inondabili;
- Verifica sezioni attuali fiume Frigido in sponda destra circa 1400 m a monte della foce e canale della Foce (torrente Ricortola) in località Falce;

Le suddette integrazioni sono state discusse sia con i tecnici del comune di Massa che con quelli della Autorità di Bacino Toscana Nord nel corso dei seguenti incontri:

- Comune di Massa 30/09/2009
- Genio Civile Massa 08/10/2009
- Comune Massa 16/12/2009
- Genio Civile Massa 25/02/2010
- Comune Massa 08/04/2009

2. ANALISI DELLE OSSERVAZIONI

2.1. Pericolosità idraulica e aree ASIP

Nella Tavola 13 – Pericolosità idraulica allo stato attuale sono state riportate le seguenti:

- Aree ASIP e le casse esistenti;
- Aree ASIP torrente Ricortola;
- Aree ASIP fosso Brugiano;
- Aree ASIP e casse esistenti torrente Canalmagro.

2.2. Coerenza con il progetto di messa in sicurezza del fosso Brugiano

Le analisi idrologiche condotte sul torrente Brugiano nell'ambito del progetto "Opere di risanamento idrogeologico dell'area compresa tra la linea di costa, il tracciato ferroviario Ge-Pi, il torrente Ricortola e il fiume Frigido (Comprensorio di Bonifica del Brugiano)" stimano per il bacino del torrente Bruciano a valle di via Massa Avenza un portata duecentennale di **6.73 mc/s** per un bacino di area 3.26 kmq.

La valutazione è stata condotta con il metodo del Soil Conservation Service. I suoli presenti nel bacino sono stati inseriti in parte nel gruppo A e in parte nel gruppo B distinguendo gli spazi aperti e le aree urbanizzate calcolando un valore del CN in AMCIII di 62.19 sulla base dei valori desunti dalle tabelle elaborate dal C.N.R. IGES di Firenze in collaborazione con la Regione Emilia Romagna – Servizio Cartografico e Geologico.

Per la determinazione della portata di massima piena il modello matematico di trasformazione afflussi-deflussi è quello basato sull'impiego dell'idrogramma unitario del Soil Conservation Service la cui forma dipende da tempo di ritardo T_p tra il baricentro del pluviogramma e il picco dell'idrogramma. Il valore di T_p desunto dalla relazione allegata al progetto è di circa **7.5 ore**.

Il pluviogramma è stato assunto del tipo Chicago della durata di 12 ore per un totale complessivo di circa 180 mm. Il coefficiente di deflusso complessivo è circa pari a 0.4.

La portata in ciascun nodo della rete drenante è stata calcolata moltiplicando il contributo specifico (mc/sec/kmq), ricavato per l'intero bacino del Comprensorio, per l'estensione dell'area scolante sottesa.

Il modello idrologico implementato per lo studio allegato al PS si basa su una schematizzazione a parametri distribuiti del bacino idrografico. Il calcolo della pioggia netta è funzione della infiltrazione a saturazione e della capacità di ritenuta del terreno calcolate in funzione della geolitologia del bacino e dell'uso del suolo sulla base di apposite tabelle. Il grado di saturazione iniziale è stato fissato per il tempo di ritorno di 200 anni al 5%.

La formazione dell'onda di piena è calcolata sommando i contributi provenienti da ciascuna cella del modello secondo un idrogramma unitario tipo Clark composto da una componente di invaso e da una componente cinematica caratterizzate da un proprio tempo di ritardo la cui somma da il tempo di trasferimento complessivo dalla cella alla foce. Il tempo di ritardo complessivo stimato per il bacino è di **1.3 ore**.

Il pluviogramma di verifica è del tipo Chicago con durata 6 ore per un totale di precipitazione di circa 200 mm. Il coefficiente di deflusso complessivo è circa pari a 0.30.

Il modello idrologico implementato per il PS, applicato al bacino del fosso Bruciano chiuso a via Massa Avenza con un'area di 3.23 kmq, fornisce per il tempo di ritorno di 200 anni una portata di **17.8 mc/s**.

La precipitazione totale, il coefficiente di deflusso e il deflusso totale risultano simili tra i due modelli. Il deflusso totale varia da 236000 mc a 195000mc. Risultano invece assai diversi i valori del tempo di ritardo che variano da 7.5 ore a 1.3 ore. Tale differenza determina di fatto i diversi valori di portata al colmo calcolati per via idrologica come riportato nella Figura 2-1.

Vista la differenza tra le due valutazioni circa le portate idrologiche si è ritenuto necessario effettuare un verifica del progetto degli interventi di risanamento in modo da valutarne l'efficacia.

A tale scopo sono state acquisite le sezioni fluviali di progetto e sono state inserite in corrispondenza della foce due idrovore per una capacità complessiva si **6.5 mc/s**.

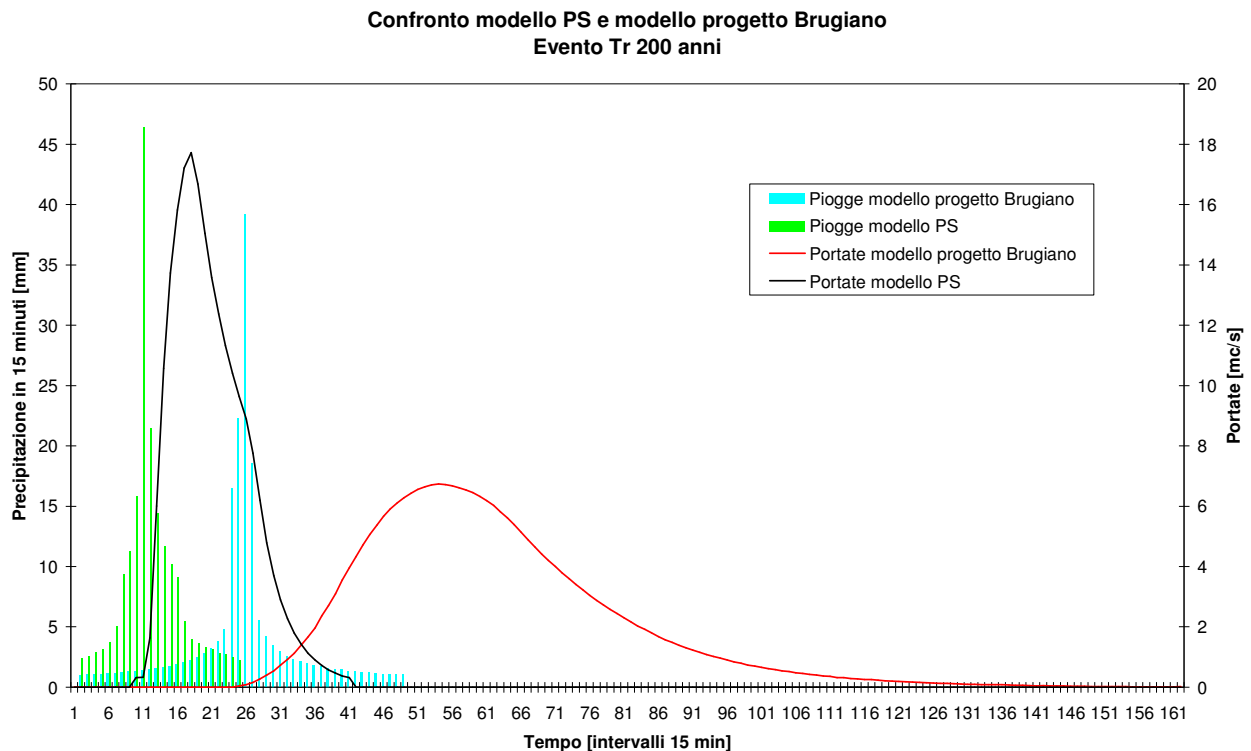


Figura 2-1 – Confronto modello PS e modello progetto Brugiano

Il reticolo idraulico di progetto, con l'area occupata dal nuovo ospedale di Massa Carrara, è riportato nella *Figura 2-2*. I tabulati della verifica per il tempo di ritorno di 200 anni sono riportati nella *Appendice A*.

La verifica idraulica ha evidenziato che l'area ove è prevista la realizzazione dell'ospedale risulta in sicurezza idraulica.

Gli interventi comportano una marcata riduzione delle esondazioni rispetto allo stato attuale. Si osserva che i volumi esondati allo stato attuale risultano di circa 33500 mc mentre i volumi esondati nello stato di progetto risultano di circa 20000 mc.

La portata in uscita dal sistema nello stato di progetto è di **16.3 mc/s** inferiore a quella idrologica a causa della laminazione del sistema idraulico.

Nella *Figura 2-3* si riportano le aree inondate e i battenti idrici per il tempo di ritorno di 200 anni nello stato di progetto.

Peraltro permangono nel bacino alcune situazioni critiche che provocano l'esondazione del corso d'acqua.

Le criticità non sono legate tanto alla dimensione delle sezioni idrauliche quanto alla presenza di alcuni attraversamenti che comportano un forte restringimento dell'alveo che provoca a monte un evidente rigurgito. In particolare si segnala il ponticello della sezione MEc005__ sul fosso Mezzo ramo C costituito da due condotte di un metro di diametro che sottende una estesa parte del bacino oggetto ove sono previsti gli interventi di adeguamento.

2.3. Criteri e metodologie per la determinazione della portata

Le portate sono state stimate con un modello a parametri distribuiti calibrando la saturazione iniziale del bacino in modo da avere valori di portata al colmo analoghi a quelli riportati nel Piano di Assetto idrogeologico.

Nella *Tabella 2-1* si riportano i valori dei parametri utilizzati.

Bacino		Ricortola	Frigido	Canal magro	Acque basse
Grado di saturazione iniziale = α_0	Tr 20 anni	0.52	0.57	0.26	0.26
	Tr 30 anni	0.50	0.55	0.25	0.25
	Tr 200 anni	0.10	0.20	0.05	0.05
Coefficiente di ripartizione cinematico/invaso = CI		0.70	0.70	0.70	0.30
Molt. Velocità di trasferimento = MT		1.20	1.20	1.20	1.20
Molt. Infiltrazione a saturazione = IN		1.00	1.00	1.00	1.00
Molt. Capacità di Ritenuta = RI		1.20	1.20	1.20	1.20

Tabella 2-1 – Parametri del modello idrologico utilizzati per i vari bacini.

Si osservi come i gradi di saturazioni adottati per il Ricortola e per il Frigido risultino superiori a quelli adottati per il Canalmagro e per le acque basse. Per queste ultime i valori sono stati fissati in modo da avere coefficienti di deflusso in linea con altri studi condotti nella stessa area.

Nella *Tabella 2-2* si riportano i valori di portata al colmo stimati per i diversi corsi d'acqua, confrontati con quelli valutati nel Piano di Assetto idrogeologico della Autorità di Bacino della Toscana Nord, nello studio [1] "*Studio idrologico e idraulico dei principali corsi*

d'acqua e redazione della carta di pericolosità idraulica del territorio del Comune di Massa, marzo 2007, nello studio [2] *“Verifica delle condizioni di rischio idraulico dell'area adiacente al tratto terminale del Fosso del Sale e definizione degli interventi di messa in sicurezza”* - luglio 2008 e nello studio [3] *“Opere di risanamento idrogeologico dell'area compresa tra la linea di costa, il tracciato ferroviario Ge-Pi, il torrente Ricortola e il fiume Frigido”*, progetto definitivo, dicembre 2008.

Corso d'acqua	Area [km ²]	Tempo di ritorno [anni]	Portate [m ³ /s]				
			PAI	Studio [1]	Studio [2]	Studio [3]	Revisione studio [1]
Torrente Ricortola	6.88	30	40.0	21.3			43.5
		200	60.0	71.2			63.0
Torrente Frigido	62.43	30	350.0	217.8			342.8
		200	500.0	564.3			492.1
Torrente Canalmagro	3.40 ¹	30	22.0	17.2	23.0		21.1
		200	37.0	48.2	38.6		40.7
Fosso Brugiano	3.67 ²	30				3.8	9.1
		200				6.7	21.3
Fosso Magliano	9.71	30		23.2			23.9
		200		73.4			53.6
Fosso Poveromo	1.37	30		2.4			3.5
		200		10.7			7.7
Fosso del Sale	1.09	30			2.7		2.8
		200			6.8		6.8

Tabella 2-2 – Confronto portate studi precedenti.

Per i corsi d'acqua Ricortola, Frigido le portate sono coincidenti con quelle del PAI. Per il Canalmagro la portata risulta modestamente superiore in quanto il bacino afferente è maggiore rispetto a quello stimato nel PAI. In generale sulle acque alte si registra una diminuzione delle portate rispetto allo studio [1] per il tempo di ritorno di 200 anni e un aumento per il tempo di ritorno di 30 anni. Le portate stimate per il fosso Brugiano risultano maggiori rispetto a quelle dello studio [3] sia a causa della maggiore estensione del bacino che della parametrizzazione maggiormente cautelativa del presente studio sia in termini di tempo di risposta del bacino. Le portate stimate per i fossi Magliano e

¹ L'area del bacino era stimata di 2.56 kmq nel PAI e di 2.77 Kmq nello studio [1]

² Le portate riportate nella tabella per lo studio [3] si riferiscono a un bacino di 3.257 kmq che non comprende le aree a monte di via Massa Avenza.

Poveromo si presentano inferiori rispetto a quelle dello studio [1] a causa della diversa parametrizzazione sui tempi di risposta del bacino. Il fosso del Sale presenta portate identiche a quelle dello studio [2].

2.4. Traslazione della portata idrologica fino alla foce e aree inondabili per singolo corso d'acqua

Lo studio predisposto nel febbraio 2009 era stato condotto tenendo conto dei principi delle *“Linee guida per la redazione degli studi idrologico-idraulici che accompagnano le richieste di revisione delle aree a rischio idraulico da parte delle Amministrazioni Comunali ai sensi della Deliberazione del Consiglio Regionale n. 1212/1999”* con particolare riferimento all'aspetto della assenza di laminazione della onda di piena dovuta alla esondazione del corso d'acqua.

Sulla base dei colloqui avuti con i tecnici della Autorità di Bacino Toscana Nord è stato deciso di suddividere ulteriormente i diversi corsi d'acqua provvedendo a inserire a monte di ciascun tratto l'intero contributo derivante dalla analisi idrologica.

La suddivisione per ciascun corso d'acqua è la seguente:

- Torrente Ricortola:
 - Tratto 1 – a monte della ferrovia Ge-Li;
 - Tratto 2 – dalla ferrovia Ge-Li alla Autostrada A12;
 - Tratto 3 – dalla Autostrada A12 al ponte di via Pietrasanta;
 - Tratto 4 – dal ponte di via Pietrasanta alla foce.
- Fosso Brugiano
 - Tratto 1 – a monte della Autostrada A12;
 - Tratto 2 – a valle della autostrada A 12.
- Torrente Frigido
 - Tratto 1 – dal ponte di via Giosuè Carducci alla Autostrada A12;
 - Tratto 2 – dalla Autostrada A12 alla foce;
- Fosso Magliano
 - Tratto 1 – a monte della ferrovia Ge-Li;
 - Tratto 2 – dalla ferrovia Ge-Li alla Autostrada A12;

- Tratto 3 – dalla Autostrada A12 al ponte di via Arezzo;
- Tratto 4 – dal ponte di via Arezzo alla foce;
- Fosso Poveromo
 - Tratto 1 – dalla Autostrada A12 al ponte di via Santa Teresa;
 - Tratto 2 – dal ponte di via Santa Teresa alla foce.
- Torrente Canalmagro e fosso del Sale
 - Tratto 1 – dalla ferrovia Ge-Li al ponte di via Romana;
 - Tratto 2 – dal ponte di via Romana alla Autostrada A12;
 - Tratto 3 – dalla Autostrada A12 a via Santa Caterina e via del Sale;
 - Tratto 4 - da via Santa Caterina e via del Sale alla foce.

I tratti in cui è stato suddiviso il reticolo sono riportati nella Figura 2-4.

Le verifiche sono state condotte per ciascun tratto in modo separato. Si osserva che nel modello sono stati inseriti anche i corsi d'acqua non oggetto di verifica ma che potevano essere raggiunti dalle acque sondate dal corso d'acqua limitrofo. In tal senso alcuni corsi d'acqua anche non oggetto di verifica diretta possono presentare delle aree inondabili secondarie.

I tabulati delle verifiche sono riportati nell'Allegato A, le sezioni fluviali nell'Allegato B.

Il sistema nel suo complesso è riportato in TAVOLA 1 – Reticolo idrografico, sezioni fluviali, punti di immissione, connessioni idrauliche e DTM.

I profili longitudinali di ciascun corso d'acqua sono riportati nelle TAVOLA 2.1 – 2.2 – 2.3 – Profili longitudinali allo stato attuale.

Nella TAVOLA 3 – Battenti idrici Ricortola allo stato attuale, TAVOLA 4 – Battenti idrici Brugiano allo stato attuale, TAVOLA 5 – Battenti idrici Frigido allo stato attuale, TAVOLA 6 – Battenti idrici Magliano allo stato attuale, TAVOLA 7 – Battenti idrici Poveromo allo stato attuale, TAVOLA 8 – Battenti idrici Canalmagro allo stato attuale si riportano le aree inondate e i battenti idrici per i tempi di ritorno di 20, 30 e 200 anni per ciascuno dei corsi d'acqua separatamente.

Nella TAVOLA 9 – Battenti idrici per $Tr = 20$ anni allo stato attuale, TAVOLA 10 – Battenti idrici per $Tr = 30$ anni allo stato attuale e TAVOLA 11 – Battenti idrici per $Tr = 200$ anni allo stato attuale si riportano le aree inondabili con i battenti frutto dell'inviluppo delle mappe dei singoli corsi d'acqua.

Nella TAVOLA 12 – Carta delle aree inondabili allo stato attuale si riportano le aree inondabili in formato vettoriale e nella TAVOLA 13 – Carta della pericolosità idraulica allo stato attuale la pericolosità idraulica.

La carta della pericolosità è stata integrata in alcune parti marginali, ove non sono state condotte specifiche indagini idrauliche, con le perimetrazioni derivanti dalla cartografia PAI. In particolare i tratti in questione sono i seguenti:

- torrente Frigido a monte del ponte di via Giosue Carducci;
- torrente Lavello.

Rispetto alle perimetrazioni condotte nello studio del febbraio 2009 si riscontrano nuove aree inondabili e aree con minore pericolosità.

Ciò è dovuto ai seguenti fattori:

- le verifiche sono state condotte per i corsi d'acqua in modo separato e questo in alcuni casi ha portato a una minore estensione delle aree inondabili in quanto non si è avuta la somma dei volumi esondati ma l'inviluppo delle aree di ciascun corso d'acqua;
- le verifiche sono state condotte suddividendo il reticolo in più tratti e ciò ha portato a un aggravio in alcune aree dove la piena risultava laminata dalle esondazioni di monte; tale fenomeno si manifesta in maniera più evidente nei tratti di valle;
- sono stati verificate alcune schematizzazioni con particolare riferimento alla geometria in corrispondenza dei ponti soggetti a sormonto e alle soglie sfioranti di collegamento verso il mare.

Inoltre in corrispondenza dei canali con idrovora alla foce il livello del mare all'istante iniziale è stato assunto pari a 0.0 m s.l.m. e gradualmente elevato fino a 0.7 m s.l.m.



Figura 2-4 – Tratti fluviali oggetto di verifica

2.5. Pericolosità idraulica del fosso Lavello

Il fosso Lavello non è stato oggetto di verifica. Nella TAVOLA 13 – Carta della pericolosità idraulica allo stato attuale sono riportate le aree inondabili presenti nella cartografia del PAI.

2.6. Definizione delle aree inondabili

Nella fase di perimetrazione delle aree inondabili non sono state inserite le zone con battente inferiore a 10 cm in funzione delle seguenti considerazioni:

- la cartografia CTR scala 1:2000 utilizzata per la predisposizione del DTM presenta una tolleranza sulle quote di circa 30cm;
- bassi battenti di esondazione possono essere invasati nel reticolo idrografico minuto presente sul territorio e nella rete fognaria;
- in molti casi i bassi battenti corrispondono ad aree di transito ove le inondazioni possono essere maggiormente influenzate dalla presenza sul territorio di opere di contenimento non rappresentate dal DTM.

In questa sede inoltre sono state eliminate quelle aree inondate che anche se con battente di poco superiore a 10cm si presentavano sconnesse rispetto al corpo delle aree inondabili a pari probabilità.

Sono state inoltre verificate alcune situazioni locali in riferimento alla divisione dei singoli lotti.

2.7. Verifica sezioni fiume Frigido e canale della Foce (torrente Ricortola)

Il quadro conoscitivo della geometria dei corsi d'acqua è stato aggiornato in riferimento ai seguenti corsi d'acqua:

Fiume Frigido: sono state acquisite presso la Autorità di Bacino in data 28/10/2009 le sezioni degli argini in sponda destra del fiume Frigido relative a un "Intervento di iniziativa

privata per la manutenzione dell'argine Destro del Fiume Frigido tra le Sezioni 25 e 26 – Loc. Puliche, Marina di Massa”;

Torrente Ricortola: in data 23/10/2009 è stato condotto un sopralluogo con i tecnici della Autorità di Bacino per verificare l'estensione delle sezioni sul torrente Ricortola in località Falce. Sulla base del sopralluogo sono state riviste le modalità di esondazione in corrispondenza del ponte ivi presente e quelle di propagazione verso valle.

APPENDICE A

Tabulati della verifica di progetto del torrente Bruciano per Tr 200 anni

Tabulati verifica di progetto fosso Brugiano per Tr 200 anni

Tro	Sez	P[m]	q[mc/s]	s[mc/s]	h[m]	y[m]	V [m/s]	Fr	Et[m]	Ev[m]	Sp[t]	ym[m]	b[m]	bt[m]	B[m]	Pb[m]	A[dmq]	At[dmq]	R[m]	C2	beta	alfa
BE_P	BEa009A	-2387.11	0.81	0.00	1.98	0.90	0.53	0.20	1.99	0.01	0.75	0.87	1.83	1.83	3.51	0.45	0.16	0.16	0.45	165.02	1.03	1.06
BE_P	BEa009B	-2386.11	0.80	0.00	1.94	0.86	1.01	0.43	1.98	0.06	0.41	0.80	1.20	1.20	2.42	0.38	0.09	0.09	0.36	139.05	1.07	1.17
BE_P	BEa009C	-2349.11	0.81	0.00	1.56	0.56	1.85	1.01	1.68	0.18	0.25	0.43	1.20	1.20	1.80	0.23	0.05	0.05	0.29	97.11	1.06	1.17
BE_P	BEa009D	-2348.11	0.81	0.00	1.59	0.59	0.88	0.40	1.62	0.04	0.36	0.58	1.79	1.79	2.90	0.30	0.10	0.10	0.36	122.62	1.02	1.04
BE_P	BEa009D_-01-BEa0083	-2325.49	0.80	0.00	1.58	0.63	0.88	0.40	1.60	0.04	0.38	0.60	1.80	1.80	2.95	0.31	0.11	0.11	0.37	125.36	1.02	1.05
BE_P	BEa009D_-02-BEa0083	-2302.87	0.80	0.00	1.56	0.66	0.88	0.40	1.58	0.04	0.41	0.63	1.82	1.82	3.01	0.32	0.11	0.11	0.38	128.33	1.02	1.05
BE_P	BEa009D_-03-BEa0083	-2280.24	0.81	0.00	1.55	0.70	0.88	0.41	1.56	0.04	0.45	0.66	1.84	1.84	3.08	0.34	0.12	0.12	0.39	131.62	1.03	1.06
BE_P	BEa009D_-04-BEa0083	-2257.62	0.82	0.00	1.53	0.73	0.88	0.42	1.54	0.04	0.48	0.68	1.86	1.86	3.13	0.35	0.13	0.13	0.40	134.03	1.03	1.06
BE_P	BEa009D_-05-BEa0083	-2235.00	0.82	0.00	1.51	0.76	0.88	0.42	1.53	0.04	0.53	0.71	1.88	1.88	3.20	0.37	0.13	0.13	0.42	137.50	1.03	1.07
BE_P	BEa009D_-06-BEa0083	-2212.38	0.82	0.00	1.51	0.81	0.88	0.42	1.52	0.04	0.59	0.75	1.90	1.90	3.29	0.39	0.14	0.14	0.43	141.81	1.03	1.07
BE_P	BEa009D_-07-BEa0083	-2189.75	0.83	0.00	1.50	0.85	0.87	0.42	1.51	0.04	0.64	0.78	1.92	1.92	3.36	0.40	0.15	0.15	0.45	144.80	1.04	1.09
BE_P	BEa0083	-2167.13	0.83	0.00	1.49	0.89	0.85	0.41	1.50	0.04	0.71	0.82	1.95	1.95	3.41	0.42	0.16	0.16	0.47	147.54	1.04	1.10
BE_P	BEa008	-2167.11	0.83	0.00	1.49	0.89	0.86	0.41	1.50	0.04	0.69	0.85	1.82	1.82	3.40	0.43	0.15	0.15	0.45	159.56	1.04	1.11
BE_P	BEa008_-01-BEa0081	-2149.61	0.82	0.00	1.49	0.93	0.84	0.40	1.50	0.04	0.75	0.88	1.82	1.82	3.44	0.45	0.16	0.16	0.47	163.27	1.04	1.11
BE_P	BEa0081	-2132.11	0.82	0.00	1.48	0.96	0.82	0.38	1.49	0.03	0.81	0.92	1.82	1.82	3.47	0.47	0.17	0.17	0.48	166.79	1.03	1.10
BE_P	BEa0082	-2131.91	0.82	0.00	1.49	0.97	0.82	0.38	1.50	0.03	0.81	0.92	1.82	1.82	3.47	0.47	0.17	0.17	0.48	166.87	1.03	1.09
BE_P	BEa0082_-01-BEa007	-2110.48	0.81	0.00	1.48	1.02	0.79	0.38	1.49	0.03	0.88	0.94	1.92	1.92	3.50	0.48	0.18	0.18	0.51	157.01	1.04	1.13
BE_P	BEa0082_-02-BEa007	-2089.04	0.79	0.00	1.48	1.07	0.77	0.39	1.49	0.03	0.96	0.95	2.02	2.02	3.51	0.49	0.19	0.19	0.55	146.93	1.05	1.14
BE_P	BEa0082_-03-BEa007	-2067.61	0.77	0.00	1.48	1.11	0.79	0.40	1.48	0.03	1.03	0.96	2.11	2.11	3.49	0.50	0.20	0.20	0.58	135.45	1.05	1.15
BE_P	BEa0082_-04-BEa007	-2046.17	0.76	0.00	1.48	1.16	0.83	0.42	1.48	0.04	1.12	0.97	2.21	2.21	3.48	0.51	0.21	0.21	0.62	126.58	1.06	1.16
BE_P	BEa0082_-05-BEa007	-2024.74	0.77	0.00	1.47	1.21	0.85	0.43	1.48	0.04	1.21	0.98	2.30	2.30	3.48	0.53	0.23	0.23	0.65	120.93	1.07	1.18
BE_P	BEa0082_-06-BEa007	-2003.30	0.78	0.00	1.47	1.26	0.86	0.42	1.47	0.04	1.32	0.99	2.40	2.40	3.49	0.54	0.24	0.24	0.68	118.96	1.08	1.21
BE_P	BEa007	-1981.87	0.78	0.00	1.47	1.31	0.83	0.40	1.48	0.04	1.45	1.00	2.49	2.49	3.53	0.57	0.25	0.25	0.71	120.39	1.08	1.23
BE_P	BEa006A	-1977.32	0.77	0.00	1.47	1.31	0.84	0.96	1.47	0.04	1.44	1.00	2.49	2.49	3.54	0.57	0.25	0.25	0.71	121.52	1.08	1.23
BE_P	BEa006B	-1976.32	0.77	0.00	1.46	1.35	0.74	0.28	1.47	0.03	1.32	9999.99	1.50	1.50	7.36	0.84	0.15	0.15	0.37	65.96	1.00	1.00
BE_P	BEa006C	-1964.52	0.77	0.00	1.44	1.33	0.77	0.30	1.45	0.03	1.27	9999.99	1.50	1.50	7.36	0.83	0.15	0.15	0.37	65.97	1.00	1.00
BE_P	BEa005D	-1963.52	0.77	0.00	1.44	1.28	0.67	0.31	1.45	0.02	1.75	0.99	2.97	2.97	4.10	0.59	0.29	0.29	0.72	126.61	1.11	1.28
BE_P	BEa004	-1959.36	0.77	0.00	1.44	1.28	0.84	0.64	1.45	0.04	1.48	0.99	2.57	2.57	3.70	0.57	0.26	0.26	0.69	121.82	1.10	1.27
BE_P	BEa004_-01-BEa003	-1937.83	0.79	-0.07	1.44	1.44	0.56	0.24	1.45	0.02	2.04	1.15	2.72	2.72	4.10	0.65	0.31	0.31	0.76	130.08	1.09	1.24
BE_P	BEa004_-02-BEa003	-1916.30	0.78	-0.09	1.44	1.58	0.40	0.16	1.44	0.01	2.67	1.24	3.03	3.03	4.61	0.71	0.38	0.38	0.82	136.27	1.10	1.27
BE_P	BEa004_-03-BEa003	-1894.78	0.75	-0.12	1.44	1.73	0.29	0.11	1.44	0.00	3.72	1.18	4.26	4.26	5.67	0.74	0.50	0.50	0.89	133.04	1.13	1.37
BE_P	BEa004_-04-BEa003	-1873.25	0.72	-0.17	1.44	1.88	0.20	0.09	1.44	0.00	5.01	1.15	5.81	5.81	7.54	0.75	0.67	0.67	0.89	144.50	1.15	1.42
BE_P	BEa004_-05-BEa003	-1851.72	0.79	-0.13	1.44	2.03	0.14	0.06	1.44	0.00	6.42	1.23	6.52	6.52	8.43	0.80	0.80	0.80	0.95	146.27	1.14	1.41
BE_P	BEa003	-1830.19	1.85	-0.15	1.44	2.19	0.30	0.11	1.44	0.01	8.05	1.33	6.98	6.98	9.09	0.87	0.93	0.93	1.02	146.37	1.16	1.46
BE_P	BEa002A	-1825.37	1.84	0.03	1.45	2.32	0.27	0.08	1.46	0.00	8.74	2.00	4.03	4.03	6.48	1.08	0.81	0.81	1.24	160.89	1.07	1.19
BE_P	BEa002B	-1824.37	1.84	0.00	1.43	2.13	0.99	0.32	1.45	0.05	3.77	9999.99	4.25	4.25	8.96	1.15	0.32	0.32	0.45	177.35	1.17	1.50
BE_P	BEa002C	-1818.57	1.84	0.00	1.42	2.12	0.99	0.33	1.44	0.05	3.72	9999.99	4.25	4.25	8.96	1.15	0.31	0.31	0.45	177.47	1.17	1.50
BE_P	BEa001D	-1817.57	1.84	0.00	1.43	2.13	0.23	0.07	1.43	0.00	10.26	1.50	7.26	10.21	9.14	0.94	1.09	1.16	1.19	147.01	1.09	1.23
BE_P	Slb003A1	-1804.57	1.80	0.00	1.43	2.15	0.22	0.07	1.43	0.00	10.43	1.51	7.26	10.21	9.17	0.95	1.10	1.17	1.20	147.66	1.09	1.24
DA_P	DAa012A	-2231.43	1.13	0.00	2.10	0.60	0.63	0.30	2.12	0.02	0.64	0.55	3.59	3.59	4.34	0.29	0.20	0.20	0.45	90.65	1.04	1.09
DA_P	DAa012B	-2230.43	1.13	0.00	2.10	0.59	0.70	0.31	2.12	0.02	0.60	0.59	3.00	3.00	4.19	0.30	0.18	0.18	0.43	68.99	1.00	1.00
DA_P	DAa012C	-2198.93	1.14	0.00	2.05	0.55	1.21	0.73	2.08	0.07	0.53	0.55	3.00	3.00	4.10	0.27	0.16	0.16	0.40	67.63	1.00	1.00
DA_P	DAa012D	-2197.93	1.15	0.00	2.06	0.56	1.45	1.01	2.08	0.11	0.57	0.51	3.55	3.55	4.25	0.27	0.18	0.18	0.43	87.81	1.03	1.08
DA_P	DAa012E	-2193.93	1.15	0.00	2.05	1.03	0.82	0.42	2.06	0.04	1.05	0.69	3.43	3.43	4.13	0.42	0.24	0.24	0.57	99.48	1.09	1.25
DA_P	DAa011A	-2176.43	1.13	0.03	2.04	1.08	0.73	0.38	2.05	0.03	1.17	0.73	3.50	3.50	4.21	0.44	0.26	0.26	0.61	100.30	1.09	1.25
DA_P	DAa011B	-2175.43	1.13	0.00	2.03	1.07	0.73	0.38	2.05	0.03	1.11	9999.99	3.13	3.13	8.76	0.54	0.19	0.19	0.48	95.61	1.08	1.24

Tabulati verifica di progetto fosso Brugiano per Tr 200 anni

Tro	Sez	P[m]	q[mc/s]	s[mc/s]	h[m]	y[m]	V [m/s]	Fr	Et[m]	Ev[m]	Sp[t]	ym[m]	b[m]	bt[m]	B[m]	Pb[m]	A[dmq]	At[dmq]	R[m]	C2	beta	alfa
DA_P	DAa011C_	-2166.43	1.13	0.00	2.01	1.08	0.69	0.41	2.03	0.03	1.12	9999.99	3.18	3.18	9.14	0.55	0.19	0.19	0.49	96.41	1.09	1.24
DA_P	DAa011D_	-2165.43	1.13	0.00	2.02	1.08	0.69	0.44	2.03	0.03	1.17	0.73	3.50	3.50	4.21	0.44	0.25	0.25	0.60	100.28	1.09	1.25
DA_P	DAa011D_-01-DAa011_	-2147.33	1.12	-0.04	2.02	1.18	0.52	0.25	2.02	0.01	1.48	0.81	3.70	3.70	4.35	0.48	0.30	0.30	0.69	97.12	1.09	1.26
DA_P	DAa011_	-2125.83	1.10	-0.07	2.02	1.29	0.37	0.17	2.02	0.01	1.89	0.89	3.97	3.97	4.56	0.52	0.35	0.35	0.78	95.20	1.09	1.27
DA_P	DAa011_-01-DAa010_	-2110.02	1.08	-0.05	2.01	1.32	0.33	0.15	2.02	0.01	1.97	0.90	4.09	4.09	4.67	0.53	0.37	0.37	0.79	92.10	1.09	1.27
DA_P	DAa011_-02-DAa010_	-2093.12	1.04	-0.08	2.01	1.33	0.31	0.14	2.02	0.01	1.99	0.90	4.09	4.09	4.70	0.53	0.37	0.37	0.78	92.68	1.09	1.28
DA_P	DAa010_	-2076.21	1.00	-0.09	2.01	1.35	0.31	0.12	2.01	0.01	2.00	0.90	4.09	4.09	4.74	0.54	0.37	0.37	0.77	93.57	1.09	1.29
DA_P	DAa010A_	-2067.49	0.96	0.08	2.01	1.35	0.30	0.11	2.01	0.00	2.06	0.98	3.68	3.68	4.37	0.56	0.36	0.36	0.82	100.01	1.09	1.26
DA_P	DAa010B_	-2066.49	0.95	0.00	2.00	1.17	0.42	0.23	2.01	0.01	1.45	9999.99	3.51	3.51	10.86	0.59	0.24	0.24	0.52	96.53	1.10	1.28
DA_P	DAa010C_	-2064.49	0.96	0.00	2.00	1.17	0.42	0.24	2.01	0.01	1.44	9999.99	3.51	3.51	10.86	0.59	0.24	0.24	0.52	96.51	1.10	1.28
DA_P	DAa010D_	-2063.49	0.95	0.01	2.00	1.27	0.29	0.14	2.01	0.00	1.95	0.92	3.92	3.92	4.50	0.53	0.36	0.36	0.80	95.69	1.08	1.25
DA_P	DAa010D_-01-DAa009A_	-2049.71	0.92	0.15	2.01	1.33	0.27	0.12	2.01	0.00	1.97	0.99	3.48	3.48	4.07	0.56	0.35	0.35	0.85	97.20	1.08	1.24
DA_P	DAa009A_	-2035.93	1.79	0.12	2.00	1.36	0.52	0.21	2.01	0.01	2.11	1.02	3.48	3.48	4.01	0.57	0.35	0.35	0.88	96.90	1.08	1.22
DA_P	DAa009B_	-2034.93	1.79	0.00	1.93	1.09	1.22	0.38	2.00	0.08	1.11	9999.99	1.55	1.55	5.00	0.62	0.15	0.15	0.42	68.78	1.00	1.00
DA_P	DAa009C_	-2022.25	1.79	0.00	1.82	0.98	1.24	1.01	1.89	0.08	0.95	9999.99	1.55	1.55	5.00	0.51	0.15	0.15	0.42	68.91	1.00	1.00
DA_P	DAa009D_	-2021.25	1.79	0.00	1.85	1.13	0.59	0.40	1.87	0.02	1.68	0.86	3.62	3.62	4.92	0.51	0.31	0.31	0.63	130.68	1.08	1.20
DA_P	DAa008A_	-2014.61	1.76	0.00	1.85	1.15	0.65	0.46	1.87	0.02	1.62	0.94	3.00	3.00	4.63	0.53	0.28	0.28	0.61	146.04	1.07	1.18
DA_P	DAa008B_	-2013.61	1.76	0.00	1.81	1.13	1.01	0.48	1.86	0.06	1.19	1.13	1.57	1.57	3.82	0.56	0.18	0.18	0.46	186.93	1.09	1.21
DA_P	DAa008C_	-1908.54	1.76	0.00	1.63	1.42	1.04	0.35	1.65	0.06	1.52	9999.99	2.82	2.82	6.76	0.62	0.23	0.23	0.34	129.16	1.11	1.28
DA_P	DAa008D_	-1907.54	1.76	0.00	1.63	1.73	0.38	0.12	1.64	0.01	3.81	1.25	4.01	4.01	5.90	0.75	0.50	0.50	0.85	169.92	1.11	1.30
DA_P	DAa007A_	-1899.46	1.75	0.02	1.63	1.73	0.53	0.16	1.64	0.02	2.75	1.33	2.70	2.70	4.52	0.75	0.36	0.36	0.80	127.73	1.14	1.40
DA_P	DAa007B_	-1898.46	1.75	0.00	1.62	1.72	0.59	0.19	1.63	0.02	3.03	9999.99	2.81	2.81	8.66	0.90	0.33	0.33	0.47	142.10	1.07	1.18
DA_P	DAa007C_	-1894.46	1.75	0.00	1.62	1.72	0.59	0.19	1.63	0.02	3.03	9999.99	2.81	2.81	8.66	0.90	0.33	0.33	0.47	142.15	1.07	1.18
DA_P	DAa007D_	-1893.46	1.75	0.00	1.62	1.72	0.49	0.15	1.63	0.01	2.89	1.35	2.82	2.82	4.29	0.74	0.38	0.38	0.89	139.09	1.08	1.21
DA_P	DAa007E_	-1892.46	1.75	0.00	1.62	1.72	0.49	0.15	1.63	0.01	2.93	1.31	2.97	2.97	4.44	0.74	0.39	0.39	0.87	143.82	1.08	1.21
DA_P	DAa007F_	-1891.55	1.75	0.00	1.60	1.40	1.22	0.48	1.63	0.08	1.26	1.46	2.80	2.80	5.38	0.58	0.20	0.20	0.37	144.64	1.16	1.47
DA_P	DAa007G_	-1885.55	1.75	0.00	1.58	1.37	2.51	1.02	1.61	0.35	1.20	1.40	2.80	2.80	5.38	0.56	0.19	0.19	0.36	144.67	1.16	1.46
DA_P	DAa007H_	-1884.55	1.75	0.00	1.59	1.69	0.99	0.40	1.62	0.06	2.02	1.54	1.56	1.56	3.91	0.79	0.24	0.24	0.62	161.56	1.19	1.53
DA_P	DAa006A_	-1874.02	1.76	0.01	1.61	1.71	0.62	0.25	1.61	0.02	3.09	1.50	2.58	2.58	4.59	0.78	0.39	0.39	0.84	161.12	1.08	1.20
DA_P	DAa006B_	-1873.02	1.76	0.00	1.60	1.54	0.83	0.33	1.61	0.04	2.68	9999.99	2.80	2.80	8.19	0.85	0.31	0.31	0.41	88.85	1.02	1.04
DA_P	DAa006C_	-1868.32	1.76	0.00	1.60	1.54	0.87	0.36	1.61	0.04	2.68	9999.99	2.80	2.80	8.19	0.85	0.31	0.31	0.41	88.85	1.02	1.04
DA_P	DAa006D_	-1867.32	1.76	0.00	1.61	1.71	0.72	0.30	1.62	0.03	2.88	1.47	2.40	2.40	3.70	0.80	0.35	0.35	0.95	131.89	1.09	1.23
DA_P	DAa005A_	-1858.85	1.76	0.01	1.61	1.71	0.73	0.30	1.61	0.03	3.03	1.39	2.69	2.69	3.94	0.79	0.37	0.37	0.95	141.33	1.09	1.23
DA_P	DAa005B_	-1857.85	1.76	0.00	1.60	1.54	0.87	0.37	1.62	0.04	2.46	9999.99	2.81	2.81	8.77	0.78	0.31	0.31	0.39	86.36	1.02	1.04
DA_P	DAa005C_	-1845.06	1.74	0.00	1.60	1.54	1.02	0.47	1.61	0.05	2.45	9999.99	2.81	2.81	8.77	0.78	0.31	0.31	0.39	86.29	1.02	1.04
DA_P	DAa005D_	-1844.06	1.74	0.01	1.61	1.76	0.67	0.28	1.61	0.03	3.19	1.40	2.88	2.88	4.37	0.78	0.40	0.40	0.93	133.87	1.10	1.29
DA_P	DAa004A_	-1836.66	1.73	0.04	1.61	1.76	0.58	0.24	1.61	0.02	3.64	1.41	3.19	3.19	4.71	0.80	0.45	0.45	0.96	133.17	1.11	1.29
DA_P	DAa004B_	-1835.66	1.72	0.00	1.60	1.77	0.86	0.30	1.61	0.04	3.20	9999.99	3.30	3.30	9.37	0.89	0.35	0.35	0.44	136.03	1.09	1.22
DA_P	DAa004C_	-1830.60	1.71	0.00	1.60	1.77	0.87	0.30	1.61	0.04	3.19	9999.99	3.30	3.30	9.37	0.89	0.35	0.35	0.44	136.10	1.09	1.22
DA_P	DAa004D_	-1829.60	1.71	0.01	1.60	1.77	0.61	0.25	1.61	0.02	3.31	1.51	2.65	2.65	4.30	0.81	0.40	0.40	0.93	140.59	1.11	1.29
DA_P	DAa004D1	-1820.92	1.69	0.07	1.60	1.84	0.56	0.21	1.61	0.02	3.69	1.49	2.94	2.94	4.59	0.83	0.44	0.44	0.95	115.07	1.10	1.29
DA_P	DAa004D_-01-DAa002A_	-1802.92	1.64	0.22	1.61	1.84	0.47	0.19	1.61	0.01	4.65	1.17	5.24	5.24	6.25	0.76	0.61	0.61	0.98	133.45	1.12	1.33
DA_P	DAa004D_-02-DAa002A_	-1782.25	1.58	0.03	1.61	1.88	0.43	0.17	1.61	0.01	4.85	1.19	5.24	5.24	6.27	0.78	0.62	0.62	0.99	133.92	1.11	1.32
DA_P	DAa002A_	-1758.57	1.92	-0.04	1.61	1.91	0.53	0.22	1.61	0.02	4.79	1.23	4.99	4.99	6.04	0.78	0.61	0.61	1.01	120.13	1.11	1.32
DA_P	DAa002B_	-1757.57	1.92	0.00	1.54	1.84	2.46	0.78	1.60	0.33	1.70	9999.99	3.07	3.07	6.21	1.08	0.14	0.14	0.30	156.21	1.17	1.51
DA_P	DAa002C_	-1751.07	1.92	0.00	1.38	1.67	2.47	0.89	1.50	0.33	1.15	9999.99	3.07	3.07	6.21	1.08	0.09	0.09	0.30	156.27	1.17	1.51

Tabulati verifica di progetto fosso Brugiano per Tr 200 anni

Tro	Sez	P[m]	q[mc/s]	s[mc/s]	h[m]	y[m]	V [m/s]	Fr	Et[m]	Ev[m]	Sp[t]	ym[m]	b[m]	bt[m]	B[m]	Pb[m]	A[dmq]	At[dmq]	R[m]	C2	beta	alfa
DA_P	DAa002D_	-1750.07	1.92	-0.01	1.43	1.72	1.70	0.83	1.44	0.17	1.96	0.97	3.07	3.07	4.62	0.63	0.30	0.30	0.64	122.60	1.17	1.53
DA_P	FN10131_	-1744.27	1.91	0.00	1.44	2.05	0.14	0.04	1.44	0.00	18.57	1.94	9.58	9.58	12.55	1.00	1.86	1.86	1.48	139.32	1.05	1.11
Sl_a_P	Sla014_	-2245.73	1.11	0.06	1.75	1.36	0.49	0.26	1.75	0.01	2.02	0.90	3.96	3.96	4.50	0.56	0.35	0.35	0.79	108.01	1.08	1.24
Sl_a_P	Sla013_	-2233.08	1.11	0.07	1.75	1.46	0.37	0.19	1.75	0.01	2.59	0.96	4.45	4.45	4.93	0.60	0.43	0.43	0.87	104.15	1.09	1.26
Sl_a_P	Sla012A_	-2223.20	1.10	0.07	1.76	1.43	0.50	0.26	1.77	0.01	2.24	0.85	4.59	4.59	5.10	0.57	0.39	0.39	0.76	121.56	1.09	1.26
Sl_a_P	Sla012B_	-2222.20	1.10	0.00	1.74	1.42	1.18	0.43	1.76	0.08	1.35	9999.99	3.76	3.76	6.89	0.80	0.16	0.16	0.30	155.64	1.16	1.47
Sl_a_P	Sla012CA	-2206.34	1.11	0.04	1.69	1.37	1.17	0.51	1.72	0.07	1.19	9999.99	3.76	3.76	6.89	0.77	0.14	0.14	0.30	155.45	1.16	1.44
Sl_a_P	Sla012C_	-2191.84	1.09	0.00	1.65	1.33	1.28	1.00	1.68	0.09	1.03	9999.99	3.76	3.76	6.89	0.75	0.13	0.13	0.30	155.30	1.16	1.45
Sl_a_P	Sla012D_	-2190.84	1.09	0.00	1.66	1.48	0.57	0.30	1.66	0.02	2.10	0.79	4.57	4.57	5.62	0.57	0.36	0.36	0.65	125.74	1.14	1.41
Sl_a_P	Sla011A_	-2180.72	1.09	0.00	1.66	1.57	0.47	0.21	1.67	0.01	2.33	0.92	4.00	4.00	5.05	0.62	0.37	0.37	0.73	126.40	1.12	1.35
Sl_a_P	Sla011B_	-2179.72	1.09	0.00	1.64	1.43	1.23	0.70	1.66	0.08	1.28	9999.99	3.89	3.89	7.02	0.84	0.14	0.14	0.30	154.82	1.17	1.49
Sl_a_P	Sla011C_	-2174.75	1.07	0.00	1.63	1.43	1.23	0.62	1.65	0.08	1.24	9999.99	3.89	3.89	7.02	0.84	0.14	0.14	0.30	154.69	1.17	1.50
Sl_a_P	Sla011D_	-2173.75	1.07	0.00	1.64	1.66	0.46	0.20	1.65	0.01	2.53	0.92	4.19	4.19	5.65	0.65	0.39	0.39	0.68	128.19	1.15	1.47
Sl_a_P	Sla010A_	-2162.07	1.06	0.00	1.64	1.66	0.45	0.20	1.65	0.01	2.50	1.08	3.50	4.15	5.64	0.66	0.38	0.38	0.67	134.74	1.15	1.47
Sl_a_P	Sla010B_	-2161.07	1.06	0.00	1.64	1.53	1.18	0.53	1.66	0.08	1.61	9999.99	3.79	3.79	6.92	0.90	0.17	0.17	0.30	155.32	1.15	1.47
Sl_a_P	Sla010CA	-2137.38	1.06	0.00	1.61	1.50	1.31	0.80	1.63	0.09	1.49	9999.99	3.79	3.79	6.92	0.89	0.16	0.16	0.30	155.50	1.17	1.51
Sl_a_P	Sla010C_	-2115.38	1.05	0.00	1.58	1.47	1.35	0.62	1.60	0.10	1.36	9999.99	3.79	3.79	6.92	0.87	0.15	0.15	0.30	155.59	1.17	1.50
Sl_a_P	Sla010D_	-2114.38	1.05	0.00	1.59	1.61	0.60	0.28	1.60	0.02	2.09	0.76	5.12	5.12	6.52	0.53	0.39	0.39	0.60	131.92	1.17	1.52
Sl_a_P	Sla009A_	-2100.46	1.03	0.00	1.59	1.62	0.29	0.13	1.60	0.00	3.65	1.19	4.55	4.55	5.78	0.67	0.54	0.54	0.94	109.25	1.09	1.28
Sl_a_P	Sla009B_	-2099.46	1.03	0.00	1.59	1.66	0.35	0.13	1.59	0.01	3.18	9999.99	5.15	5.15	13.19	0.86	0.37	0.37	0.64	115.05	1.11	1.33
Sl_a_P	Sla009C_	-2095.37	1.03	0.00	1.59	1.66	0.35	0.13	1.59	0.01	3.17	9999.99	5.15	5.15	13.19	0.85	0.37	0.37	0.64	115.07	1.11	1.32
Sl_a_P	Sla009D_	-2094.37	1.03	0.00	1.59	1.84	0.21	0.08	1.59	0.00	5.86	1.13	6.75	6.75	7.84	0.77	0.76	0.76	0.97	135.78	1.13	1.36
Sl_a_P	Sla009D_-01-Sla008A_	-2072.37	1.01	0.00	1.59	1.70	0.43	0.18	1.59	0.01	2.45	0.93	4.35	4.35	5.75	0.60	0.41	0.41	0.70	130.12	1.13	1.36
Sl_a_P	Sla008A_	-2050.37	0.99	0.00	1.58	1.83	0.27	0.10	1.58	0.00	3.83	1.25	4.13	4.13	5.85	0.74	0.52	0.52	0.88	123.17	1.13	1.38
Sl_a_P	Sla008B_	-2049.37	0.99	0.00	1.57	1.54	1.27	0.61	1.59	0.09	1.54	9999.99	4.32	4.32	7.46	0.92	0.16	0.16	0.30	155.93	1.17	1.52
Sl_a_P	Sla008CA	-2022.25	0.99	0.00	1.52	1.50	1.32	0.57	1.54	0.10	1.32	9999.99	4.32	4.32	7.46	0.90	0.14	0.14	0.30	155.87	1.18	1.53
Sl_a_P	Sla008C_	-1998.75	1.00	0.00	1.40	1.37	1.96	1.01	1.45	0.21	0.83	9999.99	4.32	4.32	7.46	0.84	0.09	0.09	0.30	155.71	1.18	1.53
Sl_a_P	Sla007D_	-1997.75	1.00	0.00	1.42	1.85	0.35	0.13	1.43	0.01	4.47	1.14	6.13	6.13	8.46	0.73	0.61	0.61	0.72	195.64	1.15	1.42
Sl_a_P	Sla006A_	-1993.45	0.99	0.00	1.43	1.90	0.25	0.10	1.43	0.00	6.54	1.39	5.75	7.21	8.74	0.82	0.80	0.80	0.91	153.82	1.12	1.33
Sl_a_P	Sla006B_	-1992.45	0.98	0.00	1.43	1.88	0.16	0.06	1.43	0.00	8.76	9999.99	8.42	8.42	23.15	1.01	0.87	0.87	0.84	126.17	1.09	1.26
Sl_a_P	Sla006C_	-1989.10	0.98	0.00	1.43	1.88	0.16	0.06	1.43	0.00	8.75	9999.99	8.42	8.42	23.15	1.01	0.87	0.87	0.84	127.04	1.09	1.26
Sl_a_P	Sla006D_	-1988.10	0.98	0.00	1.43	1.90	0.16	0.06	1.43	0.00	9.09	1.61	6.26	6.41	8.44	0.90	1.01	1.01	1.19	152.29	1.04	1.10
Sl_a_P	Sla005_	-1971.70	1.04	0.00	1.43	1.97	0.13	0.05	1.43	0.00	11.07	1.46	8.66	11.15	12.58	0.87	1.27	1.27	1.08	166.43	1.08	1.22
Sl_a_P	Sla004A_	-1958.29	1.10	0.00	1.43	2.03	0.13	0.04	1.43	0.00	11.12	1.60	7.39	7.39	9.62	0.94	1.18	1.18	1.23	153.05	1.06	1.15
Sl_a_P	Sla004B_	-1957.29	1.10	0.00	1.43	2.03	0.12	0.04	1.43	0.00	10.09	9999.99	7.54	7.54	24.58	1.08	0.93	0.93	0.95	134.27	1.09	1.23
Sl_a_P	Sla004C_	-1953.47	1.10	0.00	1.43	2.03	0.12	0.04	1.43	0.00	10.10	9999.99	7.56	7.56	24.60	1.08	0.93	0.93	0.95	134.36	1.09	1.23
Sl_a_P	Sla004D_	-1952.47	1.10	0.00	1.43	2.11	0.13	0.04	1.43	0.00	10.89	1.83	5.97	5.97	8.62	1.00	1.09	1.09	1.27	156.26	1.06	1.15
Sl_a_P	Sla003A_	-1939.62	1.11	0.01	1.43	2.24	0.15	0.04	1.43	0.00	9.58	1.85	5.04	5.04	7.90	1.03	0.93	0.93	1.18	161.75	1.11	1.28
Sl_a_P	Sla003B_	-1938.62	1.12	0.00	1.43	2.10	0.13	0.04	1.43	0.00	10.27	9999.99	6.44	6.44	19.24	1.07	0.96	0.96	1.04	169.83	1.09	1.25
Sl_a_P	Sla003C_	-1933.52	1.12	0.00	1.43	2.10	0.13	0.04	1.43	0.00	10.27	9999.99	6.44	6.44	19.25	1.07	0.96	0.96	1.04	169.82	1.09	1.25
Sl_a_P	Sla003D_	-1932.52	1.12	0.00	1.43	2.11	0.11	0.03	1.43	0.00	11.79	1.63	7.69	7.69	9.63	0.94	1.26	1.26	1.31	135.20	1.08	1.21
Sl_a_P	Sla002A_	-1917.97	1.10	0.02	1.43	2.11	0.14	0.05	1.43	0.00	8.74	1.62	5.91	5.91	7.71	0.91	0.96	0.96	1.24	126.16	1.09	1.27
Sl_a_P	Sla002B_	-1916.97	1.10	0.00	1.43	2.11	0.13	0.04	1.43	0.00	9.53	9999.99	6.40	6.40	19.32	1.04	0.91	0.91	1.01	150.90	1.15	1.43
Sl_a_P	Sla002C_	-1913.22	1.10	0.00	1.43	2.11	0.13	0.04	1.43	0.00	9.53	9999.99	6.40	6.40	19.31	1.04	0.91	0.91	1.01	150.82	1.15	1.42
Sl_a_P	Sla002D_	-1912.22	1.10	0.00	1.44	2.12	0.11	0.03	1.44	0.00	11.46	1.70	6.96	6.96	8.71	0.97	1.18	1.18	1.36	134.74	1.07	1.20
Sl_a_P	Sla002D_-01-Sla001_	-1888.86	1.03	0.00	1.44	2.11	0.10	0.03	1.44	0.00	11.99	1.60	7.88	7.88	9.43	0.95	1.26	1.26	1.34	133.64	1.08	1.21

Tabulati verifica di progetto fosso Brugiano per Tr 200 anni

Tro	Sez	P[m]	q[mc/s]	s[mc/s]	h[m]	y[m]	V [m/s]	Fr	Et[m]	Ev[m]	Sp[t]	ym[m]	b[m]	bt[m]	B[m]	Pb[m]	A[dmq]	At[dmq]	R[m]	C2	beta	alfa
SI_a_P	SlA001__	-1865.49	1.16	0.00	1.43	2.11	0.12	0.04	1.43	0.00	12.00	1.60	7.88	7.88	9.43	0.95	1.26	1.26	1.34	133.64	1.08	1.21
SI_a_P	SlA001__ -01-SIb003A	-1848.68	1.12	0.00	1.43	2.13	0.13	0.04	1.43	0.00	11.26	1.61	7.29	7.29	9.01	0.96	1.17	1.17	1.30	137.78	1.08	1.22
SI_a_P	SlA001__ -02-SIb003A	-1831.88	1.09	0.00	1.43	2.14	0.13	0.04	1.43	0.00	10.77	1.57	7.20	7.20	9.05	0.95	1.13	1.13	1.25	142.56	1.08	1.23
SI_a_P	SIb003A	-1815.07	1.12	0.00	1.43	2.15	0.13	0.04	1.43	0.00	10.41	1.51	7.26	10.21	9.17	0.95	1.10	1.17	1.20	147.66	1.09	1.24
SI_b_P	SIb003A	-1815.07	2.84	0.02	1.43	2.15	0.34	0.10	1.44	0.01	10.48	1.51	7.26	10.21	9.17	0.95	1.10	1.17	1.20	147.66	1.09	1.24
SI_b_P	SIb002B	-1814.07	2.84	0.00	1.43	2.15	0.34	0.10	1.43	0.01	9.93	9999.99	7.26	10.21	20.97	1.13	0.87	0.94	0.95	128.46	1.08	1.22
SI_b_P	SIb002C	-1810.53	2.83	0.00	1.43	2.15	0.34	0.10	1.43	0.01	9.91	9999.99	7.26	10.21	20.97	1.13	0.87	0.94	0.95	128.56	1.08	1.22
SI_b_P	SIb002D	-1809.53	2.83	0.03	1.43	2.16	0.28	0.09	1.43	0.00	12.60	1.67	7.70	7.70	9.48	0.98	1.28	1.28	1.35	139.68	1.07	1.20
SI_b_P	SIb001__	-1787.20	2.82	-0.20	1.43	2.03	0.27	0.08	1.43	0.00	12.41	1.48	9.27	9.27	10.42	0.90	1.37	1.37	1.32	127.12	1.07	1.20
SI_b_P	SIb001__ -01-SIc009	-1767.39	2.80	0.00	1.43	2.03	0.20	0.06	1.43	0.00	15.68	1.73	9.53	9.53	11.23	0.95	1.65	1.65	1.47	131.83	1.04	1.10
SI_b_P	FN1013	-1747.57	2.78	0.00	1.44	2.05	0.16	0.04	1.44	0.00	18.61	1.94	9.58	9.58	12.55	1.00	1.86	1.86	1.48	139.32	1.05	1.11
SI_c_P	SIc003__ -01-SIc002	-1337.97	0.00	0.00	0.97	1.76	0.00	0.00	0.97	0.00	12.14	1.45	10.13	10.13	11.75	0.83	1.47	1.47	1.25	130.52	1.04	1.12
SI_c_P	SIc003__ -02-SIc002	-1317.11	-0.18	0.00	0.97	1.77	-0.02	0.01	0.97	0.00	12.27	1.46	10.14	10.14	11.77	0.83	1.48	1.48	1.26	130.82	1.05	1.12
SI_c_P	SIc003__ -03-SIc002	-1292.76	-0.34	0.00	0.97	1.78	-0.05	0.02	0.97	0.00	12.41	1.46	10.14	10.14	11.79	0.84	1.49	1.49	1.26	131.20	1.05	1.12
SI_c_P	SIc003__ -04-SIc002	-1268.40	-0.46	0.00	0.97	1.78	-0.06	0.02	0.97	0.00	12.53	1.47	10.15	10.15	11.80	0.84	1.49	1.49	1.26	131.52	1.05	1.12
SI_c_P	SIc003__ -05-SIc002	-1244.04	-0.54	0.00	0.97	1.80	-0.07	0.02	0.97	0.00	12.75	1.48	10.17	10.17	11.84	0.85	1.51	1.51	1.27	132.03	1.05	1.12
SI_c_P	SIc002	-1219.68	0.67	0.00	0.98	1.82	0.06	0.02	0.98	0.00	13.07	1.50	10.19	10.19	11.89	0.86	1.53	1.53	1.28	132.86	1.05	1.12
SI_c_P	SIc001A	-1210.10	0.69	0.00	0.98	1.82	0.06	0.02	0.98	0.00	13.09	1.50	10.19	10.19	11.89	0.86	1.53	1.53	1.28	132.89	1.05	1.12
SI_c_P	SIc001B	-1209.10	0.69	0.00	0.97	1.81	0.08	0.03	0.97	0.00	10.31	1.43	8.57	8.57	17.52	0.84	1.23	1.23	0.70	87.39	1.02	1.04
SI_c_P	SIc001C	-1205.36	0.70	0.00	0.97	1.81	0.08	0.03	0.97	0.00	10.31	1.43	8.57	8.57	17.52	0.84	1.23	1.23	0.70	87.39	1.02	1.04
SI_c_P	SIc001D	-1204.36	0.70	0.00	0.97	1.96	0.05	0.02	0.97	0.00	14.73	1.46	11.41	11.41	13.29	0.89	1.66	1.66	1.25	144.88	1.05	1.13
SI_c_P	SIc001D -01-SIc001E	-1182.68	0.71	0.00	0.98	1.93	-0.06	0.02	0.98	0.00	14.53	1.57	10.19	10.19	12.02	0.91	1.60	1.60	1.34	136.68	1.05	1.13
SI_c_P	SIc001D -02-SIc001E	-1161.00	0.67	0.00	0.98	1.89	-0.07	0.02	0.98	0.00	14.05	1.55	10.20	10.20	11.99	0.89	1.58	1.58	1.32	135.53	1.05	1.12
SI_c_P	SIc001D -03-SIc001E	-1139.31	-0.67	0.00	0.99	1.86	-0.08	0.03	0.99	0.00	13.63	1.53	10.21	10.21	11.97	0.87	1.56	1.56	1.30	134.47	1.05	1.12
SI_c_P	SIc001E	-1117.63	0.74	0.00	0.99	1.82	-0.10	0.03	0.99	0.00	13.09	1.50	10.20	10.20	11.90	0.86	1.53	1.53	1.28	132.92	1.05	1.12
SI_c_P	SIc001F	-1116.63	0.75	0.00	0.99	1.82	-0.11	0.04	0.99	0.00	11.76	1.47	9.40	9.40	14.75	0.85	1.38	1.38	0.94	103.25	1.02	1.06
SI_c_P	SIc001G	-1113.65	0.76	0.00	0.99	1.82	-0.11	0.04	0.99	0.00	11.77	1.47	9.40	9.40	14.75	0.85	1.38	1.38	0.94	103.26	1.02	1.06
SI_c_P	SIc001H	-1112.65	0.76	0.00	0.99	1.86	-0.09	0.03	0.99	0.00	13.76	1.46	10.84	10.84	12.75	0.87	1.58	1.58	1.24	141.13	1.05	1.13
SI_c_P	SIc001I	-1089.57	0.84	0.00	0.99	1.85	-0.12	0.04	0.99	0.00	11.88	1.41	10.63	10.63	12.41	0.79	1.50	1.50	1.21	131.54	1.04	1.10
SI_c_P	SIc001L	-1088.57	0.84	0.00	0.99	1.85	-0.14	0.05	0.99	0.00	10.37	9999.99	8.91	8.91	23.27	0.84	1.23	1.23	0.86	99.66	1.03	1.09
SI_c_P	SIc001M	-1084.96	0.85	0.00	0.99	1.85	-0.14	0.05	0.99	0.00	10.35	9999.99	8.91	8.91	23.27	0.84	1.23	1.23	0.86	99.66	1.03	1.09
SI_c_P	SIc001N	-1083.96	0.85	0.00	0.99	1.86	-0.13	0.04	0.99	0.00	11.40	1.47	9.05	9.05	10.86	0.86	1.33	1.33	1.23	136.27	1.07	1.17
SI_c_P	SIc001__	-1075.04	0.88	0.00	0.99	1.86	-0.13	0.04	0.99	0.00	11.87	1.43	9.77	9.77	11.48	0.85	1.40	1.40	1.22	136.70	1.06	1.17
SI_c_P	C1a0032	-1057.74	0.93	0.00	0.98	1.85	-0.14	0.05	0.98	0.00	11.14	1.58	8.30	8.30	10.82	0.85	1.31	1.31	1.21	142.05	1.04	1.10
LO_P	LOa005	-1212.15	3.23	0.00	1.01	1.46	0.76	0.27	1.02	0.03	3.93	1.11	5.06	5.06	6.68	0.67	0.56	0.56	0.84	135.28	1.09	1.22
LO_P	LOa004	-1197.43	3.22	0.00	1.01	1.46	0.74	0.26	1.02	0.03	4.05	1.14	5.03	5.03	6.75	0.67	0.58	0.58	0.85	137.96	1.08	1.20
LO_P	LOa003	-1174.22	3.20	0.00	1.00	1.45	0.78	0.30	1.02	0.03	3.92	1.09	5.36	5.36	6.67	0.64	0.58	0.58	0.87	118.61	1.09	1.24
LO_P	LOa003__ -01-LOa002	-1164.35	3.20	0.00	1.00	1.45	0.82	0.31	1.01	0.04	3.80	1.09	5.16	5.16	6.52	0.65	0.56	0.56	0.86	124.97	1.08	1.22
LO_P	LOa003__ -02-LOa002	-1153.19	3.19	0.00	1.00	1.45	0.85	0.32	1.01	0.04	3.76	1.09	5.03	5.03	6.47	0.65	0.55	0.55	0.85	127.60	1.09	1.23
LO_P	LOa002A	-1138.02	3.20	0.00	0.99	1.44	0.78	0.29	1.01	0.03	4.10	1.14	5.15	5.15	6.70	0.67	0.59	0.59	0.88	128.99	1.08	1.20
LO_P	LOa002B	-1137.02	3.20	0.00	0.99	1.44	0.78	0.29	1.01	0.03	4.10	9999.99	6.16	6.16	13.87	0.70	0.56	0.56	0.70	155.73	1.09	1.23
LO_P	LOa002C	-1131.02	3.21	0.00	0.99	1.44	0.79	0.29	1.01	0.03	4.08	9999.99	6.17	6.17	13.87	0.70	0.56	0.56	0.70	155.77	1.09	1.23
LO_P	LOa002D	-1130.02	3.21	0.01	0.99	1.44	0.79	0.29	1.00	0.03	4.11	0.97	6.42	6.42	7.73	0.63	0.63	0.63	0.81	136.51	1.09	1.24
LO_P	LOa002D1	-1123.02	3.21	0.10	0.99	1.43	0.97	0.39	1.00	0.05	3.55	0.98	5.66	5.66	6.65	0.61	0.56	0.56	0.84	118.73	1.08	1.23
LO_P	LOa002__ -01-LOa001A	-1113.38	3.22	0.06	0.99	1.44	0.80	0.30	1.00	0.03	4.07	0.97	6.42	6.42	7.71	0.63	0.62	0.62	0.81	136.12	1.09	1.23
LO_P	LOa002__ -01-LOa001B	-1112.38	3.22	0.00	0.98	1.43	0.80	0.30	1.00	0.03	4.03	9999.99	6.16	6.16	13.86	0.69	0.56	0.56	0.70	154.97	1.09	1.23

Tabulati verifica di progetto fosso Brugiano per Tr 200 anni

Tro	Sez	P[m]	q[mc/s]	s[mc/s]	h[m]	y[m]	V [m/s]	Fr	Et[m]	Ev[m]	Sp[t]	ym[m]	b[m]	bt[m]	B[m]	Pb[m]	A[dmq]	At[dmq]	R[m]	C2	beta	alfa
LO_P	LOa002_-01-LOa001C_	-1106.38	3.22	0.00	0.98	1.43	0.81	0.30	1.00	0.03	4.01	9999.99	6.16	6.16	13.86	0.69	0.56	0.56	0.70	154.79	1.09	1.23
LO_P	LOa002_-01-LOa001D_	-1105.38	3.22	0.00	0.98	1.43	0.81	0.30	0.99	0.03	4.04	0.97	6.41	6.41	7.70	0.63	0.62	0.62	0.80	136.16	1.09	1.23
LO_P	LOa0011_	-1096.34	3.21	0.06	0.98	1.43	0.71	0.27	0.99	0.03	4.53	1.14	5.90	5.90	7.13	0.65	0.68	0.68	0.95	119.72	1.06	1.17
LO_P	LOa001_	-1085.14	3.50	0.00	0.98	1.43	0.74	0.29	0.99	0.03	4.97	1.07	7.14	7.14	8.16	0.63	0.76	0.76	0.94	113.69	1.06	1.18
LO_P	LOa001A_	-1076.34	3.50	0.00	0.98	1.43	0.96	0.37	0.99	0.05	4.11	0.84	7.82	7.82	8.98	0.60	0.65	0.65	0.73	137.13	1.11	1.29
LO_P	LOa001B_	-1075.34	3.50	0.00	0.98	1.43	0.96	0.37	0.99	0.05	4.00	9999.99	6.15	6.15	13.88	0.68	0.56	0.56	0.69	161.90	1.09	1.23
LO_P	LOa001C_	-1068.34	3.50	0.00	0.97	1.42	0.97	0.37	0.98	0.05	3.97	9999.99	6.15	6.15	13.88	0.68	0.56	0.56	0.69	161.70	1.09	1.23
LO_P	LOa001D_	-1067.34	3.50	0.00	0.97	1.42	0.97	0.37	0.98	0.05	3.99	0.86	7.95	7.95	9.26	0.61	0.63	0.63	0.69	150.26	1.10	1.27
LO_P	C1a003_	-1059.04	3.49	0.00	0.98	1.85	0.34	0.11	0.98	0.01	11.19	1.58	8.30	8.30	10.82	0.85	1.31	1.31	1.21	142.05	1.04	1.10
C1_P	C1a003_	-1059.04	4.08	0.00	0.98	1.85	0.32	0.10	0.98	0.01	11.22	1.58	8.30	8.30	10.82	0.85	1.31	1.31	1.21	142.05	1.04	1.10
C1_P	C1a0031_	-1048.29	4.09	0.00	0.96	1.75	0.94	0.35	0.98	0.05	4.19	1.09	4.98	4.98	6.80	0.73	0.54	0.54	0.80	139.69	1.13	1.37
C1_P	C1a003_-01-C1a002_	-1035.16	4.09	0.04	0.95	1.75	1.01	0.37	0.97	0.06	3.96	1.36	3.51	3.51	5.94	0.78	0.48	0.48	0.80	147.82	1.14	1.37
C1_P	C1a003_-02-C1a002_	-1017.28	4.10	0.00	0.97	1.77	0.70	0.24	0.98	0.03	5.63	1.51	4.41	4.41	6.46	0.82	0.66	0.66	1.03	136.86	1.09	1.24
C1_P	C1a003_-03-C1a002_	-996.80	4.12	0.00	0.96	1.81	0.63	0.21	0.97	0.02	6.09	1.38	5.26	5.26	7.48	0.82	0.73	0.73	0.97	147.01	1.10	1.26
C1_P	C1a0022_	-984.75	4.12	0.00	0.97	1.82	0.45	0.15	0.97	0.01	8.40	1.40	7.23	7.23	9.17	0.82	1.02	1.02	1.11	135.68	1.08	1.21
C1_P	C1a002_	-969.52	4.40	0.00	0.97	2.01	0.23	0.06	0.98	0.00	18.70	1.68	12.12	12.12	14.36	0.92	2.03	2.03	1.41	128.83	1.03	1.07
C1_P	C1a0021_	-965.32	4.40	0.00	0.98	1.96	0.24	0.07	0.98	0.00	17.47	1.63	11.97	11.97	14.21	0.89	1.95	1.95	1.37	123.35	1.02	1.05
C1_P	C1a002_-01-C1a001_	-947.72	4.40	0.00	0.98	1.91	0.24	0.07	0.98	0.00	16.54	1.60	11.87	11.87	14.08	0.87	1.90	1.90	1.35	121.93	1.02	1.05
C1_P	C1a002_-02-C1a001_	-925.93	4.39	0.00	0.96	1.83	0.21	0.06	0.96	0.00	18.66	1.59	13.57	13.57	15.37	0.86	2.16	2.16	1.40	127.18	1.03	1.07
C1_P	C1a001_	-904.13	4.41	0.00	0.97	1.77	0.22	0.07	0.97	0.00	17.49	1.54	13.58	13.58	15.29	0.83	2.09	2.09	1.37	125.17	1.03	1.07
C1_P	C2a005_	-895.14	4.42	0.00	0.96	1.70	0.26	0.08	0.96	0.00	14.02	1.48	11.72	11.72	13.60	0.80	1.73	1.73	1.27	126.34	1.03	1.08
C2_P	C2a005_	-895.14	8.67	0.00	0.96	1.70	0.50	0.14	0.97	0.01	14.36	1.48	11.72	11.72	13.60	0.80	1.73	1.73	1.27	126.34	1.03	1.08
C2_P	C2a004A_	-874.05	8.68	0.00	0.94	1.64	0.66	0.19	0.97	0.02	10.90	1.43	9.26	9.26	11.30	0.78	1.32	1.32	1.17	127.60	1.04	1.11
C2_P	C2a004B_	-873.05	8.67	0.00	0.94	1.76	0.72	0.22	0.97	0.03	10.14	1.31	9.26	9.26	10.43	0.78	1.21	1.21	1.16	126.38	1.06	1.15
C2_P	C2a004C_	-866.75	8.67	0.00	0.94	1.76	0.72	0.22	0.96	0.03	10.10	1.31	9.25	9.25	10.42	0.78	1.21	1.21	1.16	126.31	1.06	1.15
C2_P	C2a003D_	-865.75	8.67	0.00	0.94	1.76	0.71	0.21	0.96	0.03	10.26	1.31	9.43	9.43	10.57	0.78	1.23	1.23	1.17	124.06	1.06	1.16
C2_P	C2a002_	-846.76	8.65	0.00	0.93	1.77	0.73	0.21	0.96	0.03	10.12	1.29	9.28	9.28	10.49	0.79	1.20	1.20	1.15	126.05	1.06	1.16
C2_P	C2a0012_	-841.10	8.63	0.00	0.95	1.75	0.46	0.12	0.96	0.01	16.59	1.56	12.28	12.28	14.32	0.84	1.92	1.92	1.34	127.78	1.03	1.08
C2_P	C2a001_	-828.10	8.59	0.00	0.94	1.74	0.48	0.13	0.95	0.01	15.77	1.57	11.57	11.57	13.72	0.85	1.81	1.81	1.32	129.22	1.03	1.08
C2_P	C2a0011_	-813.10	8.22	0.48	0.95	1.99	0.25	0.07	0.95	0.00	28.64	1.65	20.09	20.09	21.63	0.86	3.31	3.31	1.53	119.01	1.02	1.04
C2_P	BRb0051_	-791.10	8.16	0.00	0.95	2.40	0.16	0.04	0.95	0.00	54.58	2.04	25.06	25.06	27.25	1.07	5.11	5.11	1.88	130.18	1.02	1.05
ME_a_P	MEa0141_	-2109.50	0.03	-0.03	1.36	1.96	0.01	0.00	1.36	0.00	3.86	1.22	4.15	4.15	5.37	0.77	0.51	0.51	0.94	109.73	1.12	1.40
ME_a_P	MEa014_	-2079.50	0.20	-0.11	1.36	1.81	0.08	0.04	1.36	0.00	3.65	1.19	4.15	4.15	5.24	0.74	0.50	0.50	0.95	113.39	1.12	1.36
ME_a_P	MEa013_	-2060.05	0.29	-0.08	1.36	1.71	0.09	0.05	1.36	0.00	3.46	1.15	4.37	5.65	6.73	0.69	0.50	0.50	0.75	136.20	1.13	1.40
ME_a_P	MEa013_-01-MEa012_	-2045.40	0.36	-0.06	1.35	1.58	0.12	0.07	1.35	0.00	2.52	1.11	3.45	3.45	4.45	0.66	0.38	0.38	0.86	102.55	1.12	1.37
ME_a_P	MEa012_	-2030.75	0.37	0.00	1.36	1.45	0.13	0.08	1.36	0.00	2.92	1.08	4.29	4.29	5.05	0.63	0.46	0.46	0.92	100.01	1.09	1.27
ME_a_P	MEa011_	-2023.64	0.37	0.00	1.35	1.35	0.15	0.13	1.35	0.00	2.17	1.12	3.09	3.09	4.41	0.63	0.35	0.35	0.79	79.61	1.02	1.05
ME_a_P	MEa010_	-2005.57	0.38	0.00	1.35	1.35	0.13	0.10	1.35	0.00	2.15	1.12	3.09	3.09	4.50	0.62	0.35	0.35	0.77	80.07	1.02	1.05
ME_a_P	MEa010_-01-MEa009_	-1983.95	0.43	-0.05	1.35	1.35	0.14	0.08	1.35	0.00	2.13	1.12	3.09	3.09	4.61	0.61	0.35	0.35	0.75	80.99	1.02	1.05
ME_a_P	MEa010_-02-MEa009_	-1962.33	0.48	-0.06	1.35	1.36	0.13	0.09	1.35	0.00	2.33	1.10	3.56	3.56	4.97	0.60	0.39	0.39	0.78	114.85	1.09	1.26
ME_a_P	MEa010_-03-MEa009_	-1940.71	0.52	-0.06	1.36	1.36	0.14	0.10	1.36	0.00	2.31	1.09	3.56	3.56	5.01	0.59	0.39	0.39	0.78	116.23	1.09	1.26
ME_a_P	MEa009_	-1919.09	0.55	-0.06	1.36	1.36	-0.16	0.13	1.36	0.00	2.30	1.09	3.56	3.56	5.01	0.59	0.39	0.39	0.78	116.14	1.09	1.26
ME_a_P	MEa009_-01-MEa008_	-1894.77	0.54	0.00	1.35	1.37	-0.17	0.12	1.35	0.00	2.35	1.10	3.58	3.58	5.04	0.60	0.39	0.39	0.78	116.55	1.09	1.26
ME_a_P	MEa009_-02-MEa008_	-1870.45	0.53	0.00	1.35	1.38	-0.17	0.11	1.35	0.00	2.41	1.11	3.60	3.60	5.09	0.60	0.40	0.40	0.79	117.07	1.09	1.26
ME_a_P	MEa009_-03-MEa008_	-1846.13	0.55	0.00	1.35	1.40	-0.16	0.11	1.35	0.00	2.48	1.12	3.63	3.63	5.06	0.61	0.41	0.41	0.80	114.99	1.09	1.27
ME_a_P	MEa009_-04-MEa008_	-1821.81	0.55	0.00	1.35	1.41	-0.14	0.09	1.35	0.00	2.85	1.09	4.24	4.24	5.22	0.62	0.46	0.46	0.88	109.86	1.08	1.22

Tabulati verifica di progetto fosso Brugiano per Tr 200 anni

Tro	Sez	P[m]	q[mc/s]	s[mc/s]	h[m]	y[m]	V [m/s]	Fr	Et[m]	Ev[m]	Sp[t]	ym[m]	b[m]	bt[m]	B[m]	Pb[m]	A[dmq]	At[dmq]	R[m]	C2	beta	alfa
ME_a_P	MEa009_-05-MEa008	-1797.48	0.55	0.00	1.35	1.42	-0.13	0.11	1.35	0.00	3.19	1.06	4.92	4.92	5.63	0.61	0.52	0.52	0.92	100.83	1.08	1.24
ME_a_P	MEa009_-06-MEa008	-1773.16	0.54	0.00	1.35	1.44	-0.15	0.11	1.35	0.00	3.43	1.11	4.84	4.84	5.59	0.64	0.54	0.54	0.96	102.44	1.08	1.23
ME_a_P	MEa009_-07-MEa008	-1748.84	0.54	0.00	1.35	1.45	-0.16	0.11	1.35	0.00	3.51	1.14	4.76	4.76	5.48	0.65	0.54	0.54	0.99	101.84	1.08	1.22
ME_a_P	MEa009_-08-MEa008	-1724.52	0.57	0.00	1.35	1.46	-0.16	0.11	1.35	0.00	3.55	1.16	4.67	4.67	5.37	0.65	0.54	0.54	1.01	101.49	1.07	1.21
ME_a_P	MEa008	-1700.20	0.59	0.00	1.35	1.48	-0.15	0.10	1.35	0.00	3.61	1.19	4.59	4.59	5.28	0.66	0.54	0.54	1.03	101.51	1.07	1.20
ME_a_P	MEa008_-01-MEa007A	-1681.37	0.60	-0.04	1.35	1.52	0.14	0.08	1.35	0.00	3.82	1.20	4.74	4.74	5.48	0.67	0.57	0.57	1.04	103.92	1.07	1.20
ME_a_P	MEa008_-02-MEa007A	-1655.15	0.61	-0.04	1.35	1.56	0.27	0.11	1.35	0.00	1.96	1.41	1.90	1.90	3.80	0.73	0.27	0.27	0.70	160.87	1.11	1.28
ME_a_P	MEa007A	-1632.62	0.74	-0.04	1.35	1.60	0.28	0.09	1.35	0.00	2.06	1.45	1.90	1.90	3.93	0.75	0.27	0.27	0.70	166.68	1.11	1.30
ME_a_P	MEa007B	-1631.62	0.74	0.00	1.35	1.48	0.29	0.14	1.35	0.00	2.49	0.98	5.27	5.27	11.63	0.67	0.37	0.37	0.32	161.60	1.21	1.65
ME_a_P	MEa007C	-1625.83	0.74	0.00	1.35	1.48	0.30	0.14	1.35	0.00	2.49	0.98	5.27	5.27	11.63	0.67	0.37	0.37	0.32	161.38	1.21	1.65
ME_a_P	FN3002	-1624.83	0.74	0.00	1.35	2.12	0.06	0.02	1.35	0.00	11.62	1.74	6.85	6.85	8.35	0.98	1.19	1.19	1.42	126.24	1.08	1.21
ME_b_P	MEb018	-2214.52	0.49	0.00	1.82	1.25	0.19	0.07	1.82	0.00	1.83	1.02	3.21	3.21	4.55	0.56	0.33	0.33	0.72	123.61	1.08	1.21
ME_b_P	MEb017	-2189.17	0.48	0.00	1.82	1.25	0.19	0.07	1.82	0.00	1.84	1.02	3.21	3.21	4.55	0.56	0.33	0.33	0.72	123.67	1.08	1.21
ME_b_P	MEb016	-2182.97	0.48	0.00	1.82	1.30	0.18	0.07	1.82	0.00	2.01	1.07	3.22	3.22	4.61	0.58	0.34	0.34	0.75	125.40	1.08	1.21
ME_b_P	MEb015	-2166.41	0.50	0.00	1.82	1.42	0.17	0.06	1.82	0.00	2.37	1.17	3.17	3.17	4.67	0.64	0.37	0.37	0.79	121.94	1.10	1.28
ME_b_P	MEb014A	-2158.90	0.52	0.00	1.82	1.47	0.17	0.06	1.82	0.00	2.58	1.22	3.17	3.17	4.61	0.66	0.39	0.39	0.84	120.03	1.10	1.29
ME_b_P	MEb014B	-2157.90	0.52	0.00	1.81	1.14	0.49	0.19	1.82	0.01	0.79	9999.99	1.75	1.75	6.08	0.62	0.12	0.12	0.36	71.69	1.03	1.08
ME_b_P	MEb014C	-2105.62	0.54	0.00	1.75	1.08	0.55	0.35	1.76	0.02	0.69	9999.99	1.75	1.75	6.08	0.59	0.11	0.11	0.35	71.40	1.03	1.08
ME_b_P	MEb014DA	-1993.47	0.52	0.00	1.39	0.72	1.26	1.62	1.40	0.08	0.30	0.69	1.20	1.20	2.49	0.35	0.08	0.08	0.33	69.27	1.03	1.07
ME_b_P	MEb014D	-1993.37	0.52	0.00	1.39	0.72	1.54	1.74	1.40	0.12	0.30	0.69	1.20	1.20	2.49	0.35	0.08	0.08	0.33	69.27	1.03	1.07
ME_b_P	MEb014E	-1989.78	0.52	0.00	1.37	1.46	0.49	0.23	1.37	0.01	1.63	1.03	2.52	2.52	4.53	0.62	0.26	0.26	0.58	96.63	1.12	1.40
ME_b_P	MEb014E_-01-MEb013	-1965.16	0.51	0.00	1.37	1.49	0.42	0.19	1.38	0.01	1.79	1.08	2.54	2.54	4.65	0.65	0.28	0.28	0.59	171.89	1.10	1.28
ME_b_P	MEb013	-1940.53	0.51	0.00	1.38	1.49	0.40	0.18	1.38	0.01	1.81	1.09	2.54	2.54	4.66	0.65	0.28	0.28	0.59	172.26	1.10	1.28
ME_b_P	MEb012A	-1937.53	0.51	0.00	1.38	1.50	0.39	0.18	1.38	0.01	1.83	1.10	2.54	2.54	4.67	0.66	0.28	0.28	0.60	172.41	1.10	1.28
ME_b_P	MEb012B	-1936.53	0.50	0.00	1.38	1.49	0.61	0.30	1.38	0.02	1.55	9999.99	3.83	3.83	7.60	0.78	0.20	0.20	0.36	165.52	1.18	1.52
ME_b_P	MEb012C	-1919.36	0.49	0.00	1.37	1.49	0.62	0.31	1.37	0.02	1.52	9999.99	3.83	3.83	7.60	0.77	0.20	0.20	0.36	165.50	1.18	1.53
ME_b_P	MEb012D	-1901.71	0.48	0.00	1.37	1.49	0.64	0.32	1.37	0.02	1.52	9999.99	3.83	3.83	7.60	0.77	0.20	0.20	0.36	165.79	1.18	1.52
ME_b_P	MEb012E	-1900.71	0.48	0.00	1.37	1.48	0.29	0.14	1.37	0.00	2.66	1.07	3.76	3.76	4.97	0.66	0.40	0.40	0.81	128.98	1.10	1.28
ME_b_P	MEb012E_-01-MEb011	-1878.24	0.45	0.16	1.37	1.48	0.25	0.12	1.37	0.00	2.66	1.07	3.76	3.76	4.97	0.66	0.40	0.40	0.81	128.99	1.10	1.28
ME_b_P	MEb012E_-02-MEb011	-1855.76	0.43	-0.05	1.37	1.49	0.21	0.10	1.37	0.00	2.67	1.08	3.76	3.76	4.97	0.66	0.40	0.40	0.81	129.00	1.10	1.28
ME_b_P	MEb012E_-03-MEb011	-1833.29	0.41	-0.05	1.37	1.49	0.18	0.08	1.37	0.00	2.67	1.08	3.76	3.76	4.97	0.66	0.40	0.40	0.81	129.00	1.10	1.28
ME_b_P	MEb012E_-04-MEb011	-1810.82	0.40	0.00	1.37	1.49	0.14	0.07	1.37	0.00	2.68	1.08	3.76	3.76	4.97	0.66	0.40	0.40	0.81	129.00	1.10	1.28
ME_b_P	MEb012E_-05-MEb011	-1788.34	0.38	0.00	1.37	1.49	0.12	0.05	1.37	0.00	2.68	1.08	3.76	3.76	4.97	0.66	0.41	0.41	0.82	129.01	1.10	1.28
ME_b_P	MEb011	-1765.87	0.36	0.00	1.37	1.49	0.12	0.06	1.37	0.00	2.69	1.08	3.76	3.76	4.97	0.66	0.41	0.41	0.82	129.02	1.10	1.28
ME_b_P	MEb010A	-1753.97	0.37	0.00	1.37	1.49	0.12	0.06	1.37	0.00	2.69	1.08	3.76	3.76	4.97	0.66	0.41	0.41	0.82	129.02	1.10	1.28
ME_b_P	MEb010B	-1752.97	0.37	0.00	1.37	1.49	0.15	0.06	1.38	0.00	2.51	9999.99	3.76	3.76	11.18	0.84	0.30	0.30	0.59	118.39	1.09	1.24
ME_b_P	MEb010C	-1748.93	0.37	0.00	1.38	1.49	0.15	0.06	1.38	0.00	2.51	9999.99	3.76	3.76	11.18	0.84	0.30	0.30	0.59	118.54	1.09	1.24
ME_b_P	MEb010D	-1747.93	0.37	0.00	1.37	1.50	0.09	0.05	1.37	0.00	3.47	0.98	5.53	5.53	6.52	0.64	0.54	0.54	0.83	130.28	1.11	1.30
ME_b_P	MEb010D_-01-MEb009	-1730.71	0.36	0.00	1.38	1.69	0.08	0.03	1.38	0.00	4.23	1.15	5.17	5.17	6.14	0.71	0.59	0.59	0.97	124.92	1.10	1.27
ME_b_P	MEb010D_-02-MEb009	-1713.50	0.35	0.00	1.37	1.91	0.08	0.03	1.37	0.00	4.76	1.29	4.84	4.84	5.79	0.76	0.62	0.62	1.07	119.70	1.08	1.23
ME_b_P	MEb009	-1696.28	0.35	0.00	1.37	2.11	0.07	0.02	1.37	0.00	5.24	1.42	4.50	4.50	5.55	0.82	0.64	0.64	1.15	114.96	1.08	1.20
ME_b_P	MEb009A	-1693.43	0.35	0.00	1.37	2.11	0.07	0.02	1.37	0.00	5.24	1.42	4.50	4.50	5.55	0.82	0.64	0.64	1.15	114.92	1.08	1.20
ME_b_P	MEb009B	-1692.43	0.34	0.00	1.38	1.51	0.39	0.21	1.38	0.01	2.10	9999.99	4.44	4.44	7.57	0.80	0.26	0.26	0.34	154.76	1.17	1.48
ME_b_P	MEb009C	-1663.72	0.36	0.00	1.38	1.51	0.39	0.25	1.38	0.01	2.08	9999.99	4.44	4.44	7.57	0.80	0.26	0.26	0.34	154.16	1.16	1.45
ME_b_P	MEb009D	-1662.72	0.36	0.00	1.38	1.51	0.09	0.04	1.38	0.00	4.05	1.29	4.49	4.49	5.29	0.70	0.58	0.58	1.10	104.81	1.06	1.17
ME_b_P	MEb008A	-1641.86	0.86	-0.02	1.38	1.51	0.17	0.07	1.38	0.00	4.08	1.29	4.49	4.49	5.29	0.70	0.58	0.58	1.10	104.91	1.06	1.17

Tabulati verifica di progetto fosso Brugiano per Tr 200 anni

Tro	Sez	P[m]	q[mc/s]	s[mc/s]	h[m]	y[m]	V [m/s]	Fr	Et[m]	Ev[m]	Sp[t]	ym[m]	b[m]	bt[m]	B[m]	Pb[m]	A[dmq]	At[dmq]	R[m]	C2	beta	alfa
ME_b_P	MEb008B	-1640.86	0.86	0.00	1.37	1.50	0.69	0.28	1.38	0.03	2.06	9999.99	4.44	4.44	7.57	0.80	0.26	0.26	0.34	155.01	1.16	1.52
ME_b_P	MEb008C	-1631.73	0.88	0.00	1.37	1.50	0.69	0.28	1.38	0.03	2.05	9999.99	4.44	4.44	7.57	0.80	0.25	0.25	0.34	155.25	1.16	1.50
ME_b_P	MEb008D	-1562.99	1.02	0.00	1.36	1.49	0.71	0.41	1.37	0.03	2.02	9999.99	4.44	4.44	7.57	0.79	0.25	0.25	0.33	155.38	1.17	1.54
ME_b_P	MEb008E	-1560.67	1.02	-0.01	1.37	2.11	0.13	0.04	1.37	0.00	6.67	1.42	5.48	5.48	6.21	0.85	0.78	0.78	1.26	119.57	1.08	1.24
ME_b_P	MEb008F	-1551.09	1.03	-0.05	1.37	2.11	0.14	0.04	1.37	0.00	6.69	1.43	5.48	5.48	6.21	0.86	0.78	0.78	1.26	119.58	1.08	1.24
ME_b_P	MEb007A	-1541.95	1.04	-0.04	1.37	2.11	0.14	0.04	1.37	0.00	6.73	1.43	5.48	5.48	6.21	0.86	0.78	0.78	1.26	119.60	1.08	1.24
ME_b_P	MEb007B	-1540.95	1.05	0.00	1.38	1.49	0.63	0.40	1.38	0.02	2.78	9999.99	7.00	7.00	10.14	0.78	0.36	0.36	0.35	187.46	1.17	1.49
ME_b_P	MEb007C	-1536.80	1.08	0.00	1.38	1.49	0.63	0.55	1.38	0.02	2.79	8.81	7.00	7.00	10.14	0.78	0.36	0.36	0.35	187.47	1.17	1.49
ME_b_P	FN2003	-1535.80	1.09	0.00	1.38	2.09	0.09	0.02	1.38	0.00	12.59	1.66	8.11	10.58	11.99	0.93	1.35	1.35	1.13	163.37	1.10	1.26
ME_c_P	MEc0061	-1188.32	4.58	0.02	1.33	2.03	0.47	0.15	1.34	0.01	8.79	1.32	7.81	7.81	9.19	0.84	1.03	1.03	1.12	132.88	1.10	1.28
ME_c_P	MEc006	-1185.82	4.56	0.02	1.33	2.03	0.47	0.15	1.34	0.01	8.80	1.32	7.81	7.81	9.19	0.84	1.03	1.03	1.12	132.86	1.10	1.28
ME_c_P	MEc006 -01-MEc005A	-1166.34	4.48	0.13	1.33	2.04	0.47	0.14	1.34	0.01	8.83	1.31	7.81	7.81	9.23	0.84	1.02	1.02	1.11	132.53	1.10	1.28
ME_c_P	MEc006 -02-MEc005A	-1146.86	4.39	0.00	1.33	2.05	0.46	0.14	1.34	0.01	8.87	1.31	7.81	7.81	9.29	0.85	1.02	1.02	1.10	133.04	1.10	1.28
ME_c_P	MEc006 -03-MEc005A	-1127.37	4.33	0.00	1.33	2.06	0.46	0.14	1.34	0.01	8.92	1.34	7.62	7.62	9.14	0.86	1.02	1.02	1.11	132.29	1.09	1.27
ME_c_P	MEc005A	-1107.89	4.35	0.00	1.33	2.08	0.46	0.14	1.34	0.01	8.99	1.36	7.48	7.48	9.04	0.86	1.02	1.02	1.13	131.83	1.09	1.27
ME_c_P	MEc005B	-1106.89	4.35	0.00	0.87	1.14	2.99	0.95	1.25	0.51	2.20	9999.99	2.00	2.00	6.26	0.65	0.16	0.16	0.30	154.53	1.17	1.48
ME_c_P	MEc005C	-1103.89	4.35	0.00	0.76	1.04	3.04	1.04	1.15	0.52	2.13	9999.99	2.00	2.00	6.26	0.54	0.16	0.16	0.30	154.47	1.17	1.52
ME_c_P	MEc005D	-1102.89	4.35	0.00	0.96	1.71	0.60	0.18	0.97	0.02	6.34	1.26	6.45	6.45	7.87	0.75	0.81	0.81	1.03	125.97	1.08	1.22
ME_c_P	MEc005	-1100.61	4.35	0.00	0.96	1.71	0.60	0.18	0.97	0.02	6.33	1.25	6.45	6.45	7.88	0.75	0.81	0.81	1.03	126.18	1.08	1.22
ME_c_P	MEc004	-1097.08	4.35	0.00	0.96	1.71	0.60	0.18	0.97	0.02	6.32	1.25	6.45	6.45	7.87	0.75	0.81	0.81	1.03	126.14	1.08	1.22
ME_c_P	MEc004 -01-MEc003	-1071.58	4.35	0.00	0.96	1.73	0.41	0.12	0.97	0.01	9.50	1.38	8.56	8.56	10.02	0.79	1.18	1.18	1.18	125.61	1.06	1.16
ME_c_P	MEc004 -02-MEc003	-1046.07	4.40	0.00	0.96	1.73	0.32	0.09	0.97	0.01	12.41	1.46	10.25	10.25	12.02	0.82	1.50	1.50	1.24	132.37	1.04	1.10
ME_c_P	MEc004 -03-MEc003	-1032.57	4.47	0.00	0.97	1.75	0.32	0.09	0.97	0.01	12.66	1.47	10.26	10.26	12.05	0.83	1.51	1.51	1.25	133.00	1.04	1.10
ME_c_P	MEc004 -04-MEc003	-1011.06	4.58	0.00	0.97	1.76	0.32	0.09	0.97	0.01	12.84	1.48	10.27	10.27	12.06	0.84	1.52	1.52	1.26	133.48	1.04	1.10
ME_c_P	MEc003	-987.56	4.71	0.00	0.97	1.78	0.32	0.09	0.97	0.01	13.02	1.49	10.27	10.27	12.07	0.84	1.53	1.53	1.27	133.94	1.04	1.10
ME_c_P	MEc003 -01-MEc002	-974.66	4.79	0.00	0.97	1.78	0.32	0.09	0.97	0.01	13.00	1.49	10.24	10.24	12.06	0.84	1.53	1.53	1.27	134.14	1.04	1.10
ME_c_P	MEc002	-958.00	5.04	0.00	0.97	1.78	0.34	0.09	0.98	0.01	13.05	1.50	10.25	10.25	12.07	0.84	1.53	1.53	1.27	134.23	1.04	1.10
ME_c_P	MEc002 -01-MEc001	-942.38	5.17	0.00	0.98	1.78	0.24	0.06	0.98	0.00	19.64	1.61	14.12	14.12	16.00	0.86	2.27	2.27	1.42	125.39	1.02	1.06
ME_c_P	MEc002 -02-MEc001	-925.01	5.33	0.00	0.97	1.78	0.24	0.06	0.97	0.00	19.48	1.60	14.12	14.12	15.98	0.86	2.26	2.26	1.42	125.17	1.02	1.06
ME_c_P	MEc001	-911.14	5.43	0.00	0.97	1.77	0.25	0.06	0.97	0.00	19.30	1.60	14.11	14.11	15.96	0.85	2.25	2.25	1.41	124.92	1.02	1.06
ME_c_P	C2a0051	-902.74	5.45	0.00	0.96	1.70	0.32	0.09	0.96	0.01	14.05	1.48	11.72	11.72	13.60	0.80	1.73	1.73	1.27	126.34	1.03	1.08
BR_a_P	BRa011	-1803.63	0.95	-0.01	1.44	1.64	0.36	0.16	1.44	0.01	3.22	1.10	4.23	4.23	5.63	0.69	0.47	0.47	0.83	129.25	1.09	1.26
BR_a_P	BRa011 -01-BRa010A	-1788.93	0.96	-0.01	1.44	1.69	0.33	0.14	1.44	0.01	3.45	1.15	4.23	4.23	5.63	0.71	0.49	0.49	0.86	129.45	1.09	1.26
BR_a_P	BRa010A	-1766.03	0.95	0.04	1.44	1.74	0.30	0.13	1.44	0.00	3.44	1.33	3.58	3.58	5.23	0.72	0.47	0.47	0.91	118.50	1.10	1.29
BR_a_P	BRa010B	-1765.03	0.95	0.00	1.43	1.45	0.54	0.28	1.44	0.02	2.12	9999.99	3.39	3.39	9.67	0.79	0.26	0.26	0.30	155.60	1.15	1.40
BR_a_P	BRa010C	-1761.20	0.95	0.00	1.43	1.45	0.54	0.29	1.44	0.02	2.11	9999.99	3.39	3.39	9.67	0.79	0.26	0.26	0.30	155.55	1.15	1.40
BR_a_P	BRa009D	-1760.20	0.94	0.01	1.43	1.40	0.51	0.27	1.44	0.01	2.17	1.17	2.94	2.94	4.76	0.63	0.34	0.34	0.72	144.52	1.06	1.17
BR_a_P	BRa009D -01-BRa008	-1735.59	0.87	0.12	1.43	1.41	0.50	0.27	1.44	0.01	2.21	1.18	2.94	2.94	4.76	0.63	0.35	0.35	0.73	144.58	1.06	1.17
BR_a_P	BRa009D -02-BRa008	-1710.98	0.84	0.13	1.43	1.42	0.48	0.26	1.44	0.01	2.23	1.18	2.94	2.94	4.76	0.64	0.35	0.35	0.73	144.62	1.06	1.17
BR_a_P	BRa009D -03-BRa008	-1686.37	0.80	0.11	1.43	1.43	0.45	0.29	1.44	0.01	2.28	1.20	2.94	2.94	4.76	0.64	0.35	0.35	0.74	144.70	1.06	1.17
BR_a_P	BRa009D -04-BRa008	-1661.76	0.76	0.11	1.43	1.45	0.26	0.16	1.43	0.00	2.99	1.30	3.31	3.31	5.17	0.69	0.43	0.43	0.83	144.75	1.07	1.18
BR_a_P	BRa009D -05-BRa008	-1637.15	0.72	0.08	1.43	1.47	0.17	0.13	1.43	0.00	3.60	1.33	3.81	3.81	5.67	0.71	0.51	0.51	0.90	140.04	1.06	1.15
BR_a_P	BRa009D -06-BRa008	-1612.54	0.67	0.10	1.43	1.47	0.15	0.13	1.44	0.00	3.63	1.34	3.81	3.81	5.67	0.71	0.51	0.51	0.90	140.08	1.06	1.15
BR_a_P	BRa009D -07-BRa008	-1587.93	0.63	0.10	1.44	1.50	0.13	0.11	1.44	0.00	3.78	1.37	3.81	3.81	5.67	0.72	0.52	0.52	0.92	140.22	1.06	1.15
BR_a_P	BRa009D -08-BRa008	-1563.32	0.60	0.04	1.44	1.51	0.14	0.11	1.44	0.00	3.83	1.38	3.81	3.81	5.67	0.73	0.52	0.52	0.93	140.27	1.06	1.15
BR_a_P	BRa009D -09-BRa008	-1538.71	0.55	0.11	1.43	1.51	0.15	0.10	1.43	0.00	3.84	1.38	3.81	3.81	5.67	0.73	0.53	0.53	0.93	140.28	1.06	1.15

Tabulati verifica di progetto fosso Brugiano per Tr 200 anni

Tro	Sez	P[m]	q[mc/s]	s[mc/s]	h[m]	y[m]	V [m/s]	Fr	Et[m]	Ev[m]	Sp[t]	ym[m]	b[m]	bt[m]	B[m]	Pb[m]	A[dmq]	At[dmq]	R[m]	C2	beta	alfa
BR_a_P	BRa009D_-10-BRa008	-1514.10	0.59	0.14	1.43	1.52	0.18	0.10	1.43	0.00	3.88	1.39	3.81	3.81	5.67	0.73	0.53	0.53	0.93	140.32	1.06	1.15
BR_a_P	BRa009D_-11-BRa008	-1489.49	0.63	0.12	1.43	1.54	0.19	0.09	1.43	0.00	3.98	1.41	3.81	3.81	5.67	0.74	0.54	0.54	0.94	140.42	1.06	1.15
BR_a_P	BRa008	-1464.88	1.15	0.12	1.43	1.55	0.25	0.12	1.43	0.00	4.06	1.42	3.81	3.81	5.67	0.75	0.54	0.54	0.95	140.48	1.06	1.15
BR_a_P	BRa007A	-1456.86	1.13	0.04	1.43	1.55	0.24	0.12	1.43	0.00	4.06	1.42	3.81	3.81	5.67	0.75	0.54	0.54	0.95	140.45	1.06	1.15
BR_a_P	BRa007B	-1455.86	1.12	0.00	1.42	1.69	0.44	0.17	1.43	0.01	2.76	9999.99	3.28	3.28	9.56	0.97	0.28	0.28	0.30	155.27	1.15	1.43
BR_a_P	BRa007C	-1315.12	1.05	0.00	1.33	1.62	0.44	0.17	1.34	0.01	2.38	9999.99	3.28	3.28	9.56	0.95	0.25	0.25	0.30	154.29	1.18	1.53
BR_a_P	BRa006D	-1314.12	1.04	0.01	1.33	1.78	0.15	0.05	1.33	0.00	5.88	1.45	5.11	5.11	6.41	0.79	0.74	0.74	1.16	120.11	1.06	1.16
BR_a_P	BRa006	-1313.62	1.04	-0.01	1.33	1.78	0.15	0.06	1.33	0.00	5.88	1.45	5.11	5.11	6.41	0.79	0.74	0.74	1.16	120.11	1.06	1.16
BR_a_P	BRa005	-1306.12	1.01	-0.12	1.33	1.78	0.18	0.06	1.33	0.00	5.88	1.45	5.11	5.11	6.41	0.79	0.74	0.74	1.16	120.11	1.06	1.16
BR_a_P	BRa005_-01-BRa004A	-1285.63	0.94	-0.21	1.33	1.78	0.16	0.05	1.33	0.00	7.01	1.57	5.30	5.30	6.66	0.84	0.83	0.83	1.25	122.87	1.05	1.13
BR_a_P	BRa005_-02-BRa004A	-1259.14	1.08	0.27	1.33	1.78	0.18	0.06	1.33	0.00	6.68	1.56	5.07	5.07	6.45	0.84	0.79	0.79	1.23	122.52	1.06	1.16
BR_a_P	BRa004A	-1235.65	1.83	0.26	1.33	1.78	0.24	0.07	1.33	0.00	6.69	1.56	5.07	5.07	6.45	0.84	0.79	0.79	1.23	122.51	1.06	1.16
BR_a_P	BRa004B	-1227.65	1.83	0.00	1.29	1.56	0.84	0.36	1.32	0.04	2.27	9999.99	3.25	3.25	9.53	0.90	0.24	0.24	0.30	154.74	1.15	1.42
BR_a_P	BRa004C	-1052.09	1.81	0.00	0.94	1.22	1.18	0.56	0.96	0.08	1.18	9999.99	2.00	2.00	6.28	0.72	0.16	0.16	0.30	154.62	1.17	1.53
BR_a_P	BRa003D	-1051.09	1.81	0.00	0.95	1.35	0.50	0.18	0.95	0.01	2.94	1.18	3.81	3.81	5.79	0.65	0.45	0.45	0.78	147.75	1.07	1.16
BR_a_P	BRa003D_-01-BRa002	-1031.00	1.80	0.00	0.96	1.45	0.46	0.16	0.97	0.01	3.38	1.26	3.86	3.86	5.99	0.69	0.49	0.49	0.81	153.03	1.07	1.17
BR_a_P	BRa003D_-02-BRa002	-1010.92	1.79	0.00	0.95	1.51	0.43	0.14	0.95	0.01	3.67	1.31	3.88	3.88	6.10	0.72	0.51	0.51	0.83	156.32	1.07	1.17
BR_a_P	BRa003D_-03-BRa002	-990.83	1.79	0.00	0.95	1.61	0.42	0.17	0.95	0.01	3.96	0.90	7.53	7.53	8.42	0.58	0.68	0.68	0.81	119.68	1.08	1.21
BR_a_P	BRa003D_-04-BRa002	-970.75	1.80	0.00	0.95	1.69	0.37	0.16	0.95	0.01	4.52	0.96	7.69	7.69	8.66	0.61	0.74	0.74	0.85	120.82	1.08	1.21
BR_a_P	BRa002	-958.44	1.82	0.00	0.95	1.76	0.34	0.14	0.95	0.01	5.02	1.01	7.82	7.82	8.87	0.63	0.79	0.79	0.89	121.96	1.08	1.21
BR_a_P	BRa002_-01-BRa001	-930.85	1.86	0.00	0.95	1.69	0.40	0.17	0.95	0.01	4.49	0.96	7.68	7.68	8.65	0.61	0.74	0.74	0.85	120.76	1.08	1.21
BR_a_P	BRa002_-02-BRa001	-911.04	1.87	0.00	0.95	1.64	0.27	0.15	0.95	0.00	7.30	0.93	14.33	14.33	15.98	0.55	1.33	1.33	0.83	165.56	1.20	1.56
BR_a_P	BRa002_-03-BRa001	-891.22	1.85	0.00	0.95	1.61	0.32	0.17	0.95	0.01	6.90	0.89	14.39	14.39	15.97	0.54	1.29	1.29	0.81	168.30	1.20	1.56
BR_a_P	BRa001	-871.41	2.15	0.00	0.95	1.57	0.39	0.19	0.95	0.01	6.32	0.85	14.43	14.43	15.94	0.52	1.22	1.22	0.77	168.57	1.20	1.56
BR_a_P	BRa001_-01-BRb005	-847.07	2.12	0.00	0.95	1.83	0.22	0.11	0.95	0.00	10.00	1.08	14.85	14.85	16.57	0.62	1.60	1.60	0.97	168.55	1.20	1.57
BR_a_P	BRa001_-02-BRb005	-822.74	2.07	0.01	0.95	2.10	0.16	0.06	0.95	0.00	15.03	1.32	15.27	15.27	17.06	0.74	2.02	2.02	1.18	120.50	1.18	1.52
BR_a_P	BRb005	-795.80	1.95	0.00	0.95	2.40	0.05	0.01	0.95	0.00	54.45	2.04	25.06	25.06	27.25	1.07	5.11	5.11	1.88	130.18	1.02	1.05
BR_b_P	BRb005	-795.80	9.58	0.00	0.95	2.40	0.20	0.05	0.95	0.00	54.63	2.04	25.06	25.06	27.25	1.07	5.11	5.11	1.88	130.18	1.02	1.05
BR_b_P	BRb005_-01-BRb004	-775.80	9.52	0.00	0.95	2.35	0.25	0.07	0.95	0.00	39.68	1.77	22.56	22.56	24.06	0.99	3.99	3.99	1.66	121.79	1.05	1.16
BR_b_P	BRb005_-02-BRb004	-757.96	9.57	0.00	0.95	2.30	0.22	0.06	0.95	0.00	44.14	1.84	23.85	23.85	25.90	1.00	4.39	4.39	1.70	124.77	1.03	1.10
BR_b_P	BRb004	-737.71	9.61	0.00	0.95	2.20	0.21	0.05	0.95	0.00	44.63	1.80	25.67	25.67	27.91	0.96	4.61	4.61	1.65	121.99	1.03	1.08
BR_b_P	BRb004_-01-BRb003	-719.09	9.70	0.00	0.95	2.20	0.25	0.06	0.95	0.00	38.34	1.78	21.97	21.97	24.46	0.97	3.91	3.91	1.60	125.30	1.03	1.07
BR_b_P	BRb004_-02-BRb003	-692.57	9.79	0.00	0.94	2.15	0.28	0.07	0.95	0.00	33.81	1.63	22.01	22.01	24.06	0.94	3.58	3.58	1.49	126.57	1.04	1.12
BR_b_P	BRb004_-03-BRb003	-673.55	9.76	0.00	0.94	1.99	0.35	0.09	0.95	0.01	27.09	1.82	15.30	15.30	17.93	0.96	2.79	2.79	1.56	134.52	1.02	1.06
BR_b_P	BRb003	-654.53	9.68	0.00	0.94	1.94	0.48	0.13	0.95	0.01	19.06	1.72	11.80	11.80	14.28	0.92	2.03	2.03	1.42	137.34	1.03	1.08
BR_b_P	BRb003_-01-BRb002	-640.13	9.63	0.00	0.93	1.90	0.49	0.14	0.94	0.01	18.24	1.67	11.80	11.80	14.26	0.90	1.98	1.98	1.39	137.39	1.03	1.08
BR_b_P	BRb002	-625.72	9.58	0.00	0.93	1.86	0.39	0.12	0.94	0.01	22.30	1.68	14.70	14.70	16.86	0.89	2.47	2.47	1.47	127.65	1.03	1.07
BR_b_P	BRb002_-01-BRb001	-603.54	9.51	0.00	0.94	1.71	0.35	0.11	0.95	0.01	23.74	1.51	18.82	18.82	20.32	0.82	2.84	2.84	1.40	121.65	1.03	1.07
BR_b_P	BRb001	-581.35	14.57	0.00	0.93	1.70	0.46	0.12	0.94	0.01	28.05	1.55	21.37	21.37	22.69	0.83	3.32	3.32	1.46	118.13	1.02	1.05
BR_c_P	BRb001	-581.35	14.57	0.00	0.93	1.70	0.46	0.12	0.94	0.01	28.05	1.55	21.37	21.37	22.69	0.83	3.32	3.32	1.46	118.13	1.02	1.05
BR_c_P	BRc004	-559.65	14.54	0.00	0.92	1.62	0.62	0.18	0.94	0.02	20.05	1.32	18.74	18.74	20.01	0.77	2.48	2.48	1.24	125.92	1.03	1.07
BR_c_P	BRc003A	-554.02	14.55	0.00	0.93	1.63	0.66	0.18	0.95	0.02	19.21	1.46	15.75	15.75	17.79	0.79	2.31	2.31	1.30	126.06	1.02	1.06
BR_c_P	BRc003B	-553.02	14.55	0.00	0.93	1.63	0.75	0.18	0.96	0.03	18.45	9999.99	14.19	14.19	34.30	0.89	1.94	1.94	0.93	121.75	1.09	1.25
BR_c_P	BRc003C	-549.89	14.55	0.00	0.89	1.59	1.04	0.16	0.94	0.06	16.30	9999.99	13.85	13.85	31.25	1.05	1.40	1.40	0.80	98.94	1.02	1.06
BR_c_P	BRc003D	-548.89	14.55	0.00	0.91	1.61	0.68	0.19	0.93	0.02	18.64	1.44	15.67	15.67	17.64	0.78	2.26	2.26	1.28	124.55	1.02	1.06
BR_c_P	BRc003D_-01-BRc002	-535.68	14.61	0.00	0.91	1.61	0.57	0.16	0.93	0.02	21.66	1.38	19.36	19.36	21.30	0.78	2.67	2.67	1.25	128.62	1.03	1.06

Tabulati verifica di progetto fosso Brugiano per Tr 200 anni

Tro	Sez	P[m]	q[mc/s]	s[mc/s]	h[m]	y[m]	V [m/s]	Fr	Et[m]	Ev[m]	Sp[t]	ym[m]	b[m]	bt[m]	B[m]	Pb[m]	A[dmq]	At[dmq]	R[m]	C2	beta	alfa
BR_c_P	BRc002	-519.46	14.71	0.00	0.91	1.62	0.51	0.13	0.93	0.01	24.77	1.54	19.50	19.50	21.35	0.80	3.01	3.01	1.41	115.82	1.01	1.03
BR_c_P	BRc002_-01-BRc001	-503.63	14.80	0.00	0.91	1.61	0.51	0.13	0.92	0.01	24.75	1.53	19.82	19.82	21.54	0.80	3.02	3.02	1.40	115.79	1.01	1.03
BR_c_P	BRc002_-02-BRc001	-484.79	14.86	0.00	0.91	1.60	0.51	0.14	0.92	0.01	24.48	1.50	20.11	20.11	21.80	0.79	3.01	3.01	1.38	116.66	1.01	1.03
BR_c_P	BRc001	-465.96	15.00	-0.04	0.90	1.60	0.51	0.14	0.92	0.01	24.55	1.47	20.50	20.50	22.23	0.79	3.02	3.02	1.36	119.37	1.01	1.03
BR_c_P	BRc001_-01-BRd010	-447.82	14.97	0.00	0.90	1.65	0.49	0.13	0.91	0.01	25.89	1.51	20.54	20.54	22.30	0.81	3.09	3.09	1.39	120.90	1.02	1.04
BR_d_P	BRc001_-01-BRd010	-447.82	15.49	0.00	0.90	1.65	0.51	0.14	0.91	0.01	25.95	1.51	20.54	20.54	22.30	0.81	3.09	3.09	1.39	120.90	1.02	1.04
BR_d_P	BRd010	-429.67	15.41	0.00	0.90	1.70	0.49	0.13	0.91	0.01	27.21	1.58	20.37	20.37	21.98	0.82	3.23	3.23	1.47	117.42	1.02	1.04
BR_d_P	BRd010_-01-BRd009	-409.82	15.33	0.00	0.90	1.70	0.49	0.13	0.91	0.01	27.15	1.58	20.37	20.37	21.97	0.82	3.22	3.22	1.47	117.37	1.02	1.04
BR_d_P	BRd010_-02-BRd009	-389.97	15.25	0.00	0.89	1.69	0.48	0.13	0.91	0.01	27.10	1.58	20.36	20.36	21.94	0.82	3.22	3.22	1.47	117.17	1.02	1.04
BR_d_P	BRd009	-370.12	15.17	0.00	0.89	1.69	0.48	0.14	0.90	0.01	27.02	1.58	20.36	20.36	21.94	0.82	3.21	3.21	1.47	117.13	1.02	1.04
BR_d_P	BRd009_-01-BRd008	-349.71	15.18	0.00	0.89	1.69	0.48	0.14	0.90	0.01	26.94	1.58	20.36	20.36	21.95	0.82	3.21	3.21	1.46	117.15	1.02	1.04
BR_d_P	BRd009_-02-BRd008	-329.30	15.21	0.00	0.89	1.69	0.48	0.14	0.90	0.01	26.89	1.57	20.37	20.37	21.96	0.82	3.21	3.21	1.46	117.10	1.02	1.04
BR_d_P	BRd008	-308.89	15.21	0.00	0.89	1.69	0.48	0.15	0.90	0.01	26.85	1.57	20.37	20.37	21.96	0.81	3.20	3.20	1.46	117.08	1.02	1.04
BR_d_P	BRd008_-01-BRd007	-289.44	15.20	0.00	0.88	1.68	0.48	0.15	0.90	0.01	26.74	1.58	20.08	20.08	22.02	0.82	3.18	3.18	1.45	118.23	1.02	1.04
BR_d_P	BRd008_-02-BRd007	-269.98	15.18	0.00	0.88	1.68	0.50	0.15	0.89	0.01	26.14	1.60	19.24	19.24	21.68	0.82	3.08	3.08	1.42	120.55	1.02	1.05
BR_d_P	BRd007	-250.53	16.11	0.00	0.88	1.68	0.47	0.14	0.89	0.01	29.88	1.61	21.92	21.92	24.33	0.83	3.52	3.52	1.45	121.35	1.01	1.02
BR_d_P	BRd006A	-241.71	16.08	0.00	0.88	1.68	0.47	0.14	0.89	0.01	29.82	1.61	21.92	21.92	24.32	0.83	3.52	3.52	1.45	121.28	1.01	1.02
BR_d_P	BRd006B	-240.71	16.07	0.00	0.87	1.67	0.55	0.14	0.89	0.02	29.02	9999.99	21.92	21.92	45.72	0.95	2.95	2.95	1.20	112.41	1.01	1.02
BR_d_P	BRd006C	-232.71	16.08	0.00	0.87	1.67	0.55	0.14	0.89	0.02	28.89	9999.99	21.92	21.92	45.72	0.95	2.95	2.95	1.20	112.43	1.01	1.02
BR_d_P	BRd005D	-231.71	16.08	0.00	0.87	1.86	0.48	0.12	0.88	0.01	31.90	1.80	18.76	18.76	21.95	0.92	3.38	3.38	1.54	131.49	1.01	1.03
BR_d_P	BRd004	-222.61	16.10	0.00	0.87	1.86	0.48	0.12	0.88	0.01	31.91	1.80	18.76	18.76	21.96	0.92	3.38	3.38	1.54	131.58	1.01	1.03
BR_d_P	BRd004_-01-BRd003	-199.66	16.14	0.00	0.87	1.87	0.48	0.12	0.88	0.01	32.10	1.81	18.76	18.76	21.93	0.92	3.40	3.40	1.55	131.52	1.01	1.03
BR_d_P	BRd003	-176.71	16.17	0.00	0.86	1.87	0.48	0.12	0.88	0.01	32.07	1.81	18.75	18.75	21.90	0.92	3.39	3.39	1.55	131.18	1.01	1.03
BR_d_P	BRd003_-01-BRd002A	-153.41	16.18	0.00	0.86	1.86	0.48	0.12	0.87	0.01	31.76	1.81	18.55	18.55	21.70	0.92	3.36	3.36	1.55	130.98	1.01	1.03
BR_d_P	BRd002A	-130.11	16.36	0.00	0.86	1.86	0.49	0.12	0.87	0.01	31.56	1.82	18.34	18.34	21.52	0.92	3.33	3.33	1.55	131.16	1.01	1.03
BR_d_P	BRd002B	-129.11	9.89	6.50	0.84	0.97	-1.55	1.02	0.87	0.12	6.98	1.58	13.28	13.28	23.44	0.48	1.28	1.28	0.65	79.67	1.00	1.00
BR_d_P	BRd001C	-115.41	16.36	-6.50	0.72	0.85	1.76	0.73	0.80	0.16	6.84	0.85	13.28	13.28	18.40	0.43	1.13	1.13	0.62	77.94	1.00	1.00
BR_d_P	BRd001D	-114.41	16.36	0.00	0.74	1.62	0.59	0.16	0.76	0.02	22.82	1.54	18.27	18.27	21.00	0.78	2.81	2.81	1.34	121.66	1.01	1.02
BR_d_P	BRd001D_-01-BRd001E	-90.85	16.38	0.00	0.74	1.63	0.58	0.16	0.75	0.02	23.07	1.55	18.30	18.30	21.05	0.78	2.83	2.83	1.34	122.10	1.01	1.02
BR_d_P	BRd001D_-02-BRd001E	-67.29	16.38	0.00	0.74	1.64	0.58	0.15	0.75	0.02	23.32	1.56	18.32	18.32	21.11	0.79	2.85	2.85	1.35	122.60	1.01	1.02
BR_d_P	BRd001D_-03-BRd001E	-43.72	16.37	0.00	0.74	1.65	0.57	0.15	0.74	0.02	23.58	1.57	18.34	18.34	21.17	0.79	2.88	2.88	1.36	123.11	1.01	1.02
BR_d_P	BRd001E	-20.16	16.35	0.00	0.74	1.67	0.57	0.15	0.74	0.02	23.83	1.58	18.37	18.37	21.23	0.80	2.91	2.91	1.37	123.03	1.01	1.03
BR_d_P	BRd001F	-19.16	16.35	0.00	0.74	1.67	0.67	0.10	0.74	0.02	23.39	9999.99	17.49	17.49	41.66	0.94	2.43	2.43	0.94	94.88	1.01	1.04
BR_d_P	BRd001G	-1.00	16.35	0.00	0.72	1.66	0.67	0.10	0.73	0.02	22.96	9999.99	17.49	17.49	41.61	0.92	2.43	2.43	0.94	94.82	1.01	1.04
BR_d_P	BRd001H	0.00	16.35	0.00	0.70	1.64	0.57	0.15	0.72	0.02	23.48	1.56	18.36	18.36	21.18	0.79	2.86	2.86	1.35	122.18	1.01	1.03
TO_P	TOa005	-711.63	0.62	0.00	0.92	0.70	0.36	0.24	0.92	0.01	1.33	0.66	5.97	5.97	6.78	0.34	0.39	0.39	0.58	88.30	1.02	1.06
TO_P	TOa005_-01-TOa004A	-687.10	0.65	0.00	0.92	0.73	0.34	0.20	0.92	0.01	1.45	0.69	5.97	5.97	6.84	0.35	0.41	0.41	0.60	89.96	1.02	1.06
TO_P	TOa004A	-662.57	0.71	0.00	0.92	0.75	0.49	0.29	0.92	0.01	1.10	0.67	4.54	4.54	5.36	0.36	0.30	0.30	0.56	96.70	1.04	1.09
TO_P	TOa004B	-661.57	0.71	0.00	0.92	0.75	0.83	0.53	0.92	0.04	0.76	0.61	3.55	3.55	4.26	0.34	0.22	0.22	0.51	98.64	1.05	1.14
TO_P	TOa004C	-657.37	0.72	0.00	0.92	0.75	1.16	0.88	0.92	0.07	0.76	0.61	3.55	3.55	4.26	0.34	0.22	0.22	0.51	98.60	1.05	1.14
TO_P	TOa003D	-656.37	0.72	0.00	0.92	0.76	1.20	0.95	0.92	0.07	0.78	0.62	3.54	3.54	4.27	0.35	0.22	0.22	0.51	99.83	1.05	1.14
TO_P	TOa003D_-01-TOa0022	-633.46	0.78	0.00	0.91	0.92	0.27	0.30	0.91	0.00	3.13	0.74	9.97	9.97	10.38	0.42	0.74	0.74	0.71	93.67	1.04	1.11
TO_P	TOa003D_-02-TOa0022	-610.55	0.83	0.00	0.90	1.06	0.16	0.08	0.90	0.00	4.26	0.83	10.56	10.56	11.03	0.48	0.88	0.88	0.80	98.20	1.04	1.12
TO_P	TOa003D_-03-TOa0022	-585.45	0.78	-0.13	0.91	1.24	0.10	0.05	0.91	0.00	6.07	1.03	10.31	10.31	10.75	0.57	1.06	1.06	0.99	99.42	1.04	1.10
TO_P	TOa003D_-04-TOa0022	-564.74	0.81	0.00	0.90	1.27	-0.12	0.06	0.90	0.00	6.01	1.06	9.57	9.57	10.24	0.59	1.02	1.02	0.99	102.55	1.04	1.11
TO_P	TOa0022	-541.83	0.79	0.00	0.90	1.31	0.13	0.06	0.90	0.00	6.13	1.11	9.01	9.01	10.21	0.61	1.00	1.00	0.98	107.94	1.04	1.12

Tabulati verifica di progetto fosso Brugiano per Tr 200 anni

Tro	Sez	P[m]	q[mc/s]	s[mc/s]	h[m]	y[m]	V [m/s]	Fr	Et[m]	Ev[m]	Sp[t]	ym[m]	b[m]	bt[m]	B[m]	Pb[m]	A[dmq]	At[dmq]	R[m]	C2	beta	alfa
TO_P	TOa0021_	-541.63	0.79	0.00	0.90	1.31	0.14	0.06	0.90	0.00	6.07	1.06	9.40	9.40	10.65	0.61	1.00	1.00	0.94	112.06	1.05	1.13
TO_P	TOa0021_-01-TOa002	-517.30	0.81	0.00	0.90	1.36	0.13	0.06	0.90	0.00	6.52	1.11	9.40	9.40	10.70	0.63	1.04	1.04	0.97	112.76	1.05	1.13
TO_P	TOa002_	-492.97	1.09	0.00	0.90	1.40	0.13	0.06	0.90	0.00	7.01	1.15	9.40	9.40	10.74	0.65	1.08	1.08	1.01	113.56	1.05	1.13
TO_P	TOa002A_	-485.32	1.10	0.00	0.90	1.50	0.09	0.04	0.90	0.00	10.09	1.17	12.76	12.76	14.19	0.67	1.50	1.50	1.05	119.07	1.04	1.12
TO_P	TOa002B_	-484.32	1.11	0.00	0.90	1.50	0.10	0.04	0.90	0.00	8.76	9999.99	9.11	9.11	19.84	0.80	1.10	1.10	0.85	130.95	1.09	1.28
TO_P	TOa002C_	-482.82	1.11	0.00	0.90	1.50	0.11	0.04	0.90	0.00	8.76	9999.99	9.11	9.11	19.84	0.80	1.10	1.10	0.85	130.95	1.09	1.28
TO_P	TOa002D_	-481.82	1.11	0.00	0.90	1.50	0.10	0.04	0.90	0.00	8.94	1.25	10.10	10.10	11.73	0.70	1.27	1.27	1.08	126.35	1.03	1.08
TO_P	TOa001_	-471.82	1.12	0.00	0.90	1.55	0.10	0.04	0.90	0.00	10.43	1.10	13.81	13.81	14.63	0.69	1.52	1.52	1.04	125.76	1.05	1.13
TO_P	BRc001_-01-BRd010_	-447.82	1.07	-0.05	0.90	1.65	0.04	0.02	0.90	0.00	25.16	1.51	20.54	20.54	22.30	0.81	3.09	3.09	1.39	120.90	1.02	1.04
FN_1_a	FN1013_	-1747.57	4.15	0.00	1.44	2.05	0.30	0.08	1.44	0.00	18.66	1.94	9.58	9.58	12.55	1.00	1.86	1.86	1.48	139.32	1.05	1.11
FN_1_a	FN1012A_	-1745.93	4.15	0.00	1.44	1.97	0.37	0.10	1.44	0.01	14.72	1.90	7.87	7.87	11.47	0.97	1.50	1.50	1.31	114.45	1.01	1.02
FN_1_a	FN1012B_	-1744.93	4.15	0.00	1.37	1.36	1.34	0.51	1.43	0.09	3.76	9999.99	3.86	3.86	13.62	0.87	0.38	0.38	0.38	67.23	1.01	1.04
FN_1_a	FN1012C_	-1740.28	4.14	0.00	1.33	1.33	1.95	1.02	1.39	0.19	3.62	9999.99	3.86	3.86	13.63	0.84	0.38	0.38	0.38	67.23	1.01	1.04
FN_1_a	FN1012D_	-1739.28	4.14	-0.01	1.36	1.92	0.47	0.16	1.36	0.01	11.85	1.57	8.40	8.40	9.81	0.89	1.32	1.32	1.35	123.22	1.06	1.17
FN_1_a	FN1012D_-01-FN1012_	-1720.84	4.15	0.00	1.36	1.93	0.46	0.15	1.36	0.01	11.91	1.58	8.40	8.40	9.81	0.89	1.32	1.32	1.35	123.37	1.06	1.17
FN_1_a	FN1012_	-1702.40	4.13	-0.08	1.35	1.93	0.44	0.15	1.36	0.01	11.94	1.58	8.40	8.40	9.82	0.89	1.33	1.33	1.35	123.56	1.06	1.17
FN_1_a	FN1012_-01-FN1011_	-1693.18	4.15	-0.04	1.36	1.93	0.43	0.14	1.36	0.01	12.00	1.58	8.40	8.40	9.83	0.89	1.33	1.33	1.35	123.70	1.06	1.17
FN_1_a	FN1011_	-1676.75	4.17	-0.07	1.36	1.94	0.42	0.14	1.36	0.01	12.05	1.58	8.40	8.40	9.83	0.89	1.33	1.33	1.35	123.82	1.06	1.17
FN_1_a	FN10101_	-1668.47	4.16	0.00	1.36	1.94	0.42	0.13	1.36	0.01	12.10	1.59	8.40	8.40	9.84	0.90	1.33	1.33	1.36	123.94	1.06	1.17
FN_1_b	FN10101_	-1668.47	5.01	-0.05	1.36	1.94	0.41	0.13	1.36	0.01	12.14	1.59	8.40	8.40	9.84	0.90	1.33	1.33	1.36	123.94	1.06	1.17
FN_1_b	FN1010_	-1656.52	5.06	-0.06	1.36	1.95	0.40	0.13	1.36	0.01	12.18	1.59	8.40	8.40	9.84	0.90	1.34	1.34	1.36	124.09	1.06	1.17
FN_1_b	FN1010_-01-FN1009_	-1644.77	5.12	-0.06	1.36	1.95	0.39	0.12	1.36	0.01	12.23	1.59	8.40	8.40	9.85	0.90	1.34	1.34	1.36	124.26	1.06	1.17
FN_1_b	FN1009_	-1633.03	5.12	0.06	1.35	1.95	0.39	0.12	1.36	0.01	12.24	1.59	8.40	8.40	9.85	0.90	1.34	1.34	1.36	124.28	1.06	1.17
FN_1_b	FN1009_-01-FN1008_	-1619.32	5.13	-0.07	1.36	1.96	0.39	0.12	1.36	0.01	12.33	1.60	8.40	8.40	9.86	0.90	1.34	1.34	1.36	124.49	1.06	1.17
FN_1_b	FN1008_	-1605.61	5.13	-0.07	1.36	1.97	0.39	0.12	1.36	0.01	12.34	1.60	8.40	8.40	9.85	0.91	1.34	1.34	1.36	124.49	1.06	1.18
FN_1_b	FN1007_	-1586.09	5.10	-0.03	1.36	1.97	0.38	0.11	1.36	0.01	12.42	1.61	8.40	8.40	9.86	0.91	1.35	1.35	1.37	124.70	1.06	1.18
FN_1_b	FN1006_	-1569.65	5.07	0.00	1.36	1.98	0.38	0.11	1.36	0.01	12.49	1.61	8.40	8.40	9.86	0.91	1.35	1.35	1.37	124.86	1.06	1.18
FN_1_c	FN1006_	-1569.65	6.21	0.02	1.36	1.98	0.47	0.12	1.37	0.01	12.59	1.61	8.40	8.40	9.86	0.91	1.35	1.35	1.37	124.86	1.06	1.18
FN_1_c	FN1006_-01-FN1005_	-1551.50	6.17	-0.02	1.35	1.98	0.46	0.12	1.36	0.01	12.62	1.61	8.40	8.40	9.87	0.91	1.35	1.35	1.37	125.05	1.07	1.18
FN_1_c	FN1005_	-1533.34	6.10	0.05	1.36	1.99	0.46	0.12	1.36	0.01	12.68	1.62	8.40	8.40	9.88	0.92	1.36	1.36	1.37	125.20	1.07	1.18
FN_1_c	FN1005_-01-FN1004_	-1515.41	6.03	0.05	1.35	2.00	0.45	0.12	1.36	0.01	12.73	1.62	8.40	8.40	9.88	0.92	1.36	1.36	1.38	125.39	1.07	1.18
FN_1_c	FN1004_	-1497.48	6.15	0.23	1.35	2.00	0.46	0.12	1.36	0.01	12.77	1.62	8.40	8.40	9.89	0.92	1.36	1.36	1.38	125.50	1.07	1.18
FN_1_c	FN1004_-01-FN1003_	-1474.55	5.74	0.41	1.35	2.01	0.42	0.11	1.36	0.01	12.79	1.62	8.40	8.40	9.90	0.92	1.36	1.36	1.38	125.73	1.07	1.18
FN_1_c	FN1003_	-1451.61	5.34	0.41	1.35	2.02	0.39	0.11	1.35	0.01	12.80	1.63	8.40	8.40	9.90	0.93	1.37	1.37	1.38	125.90	1.07	1.18
FN_1_c	FN1003_-01-FN1002_	-1432.21	5.01	0.34	1.35	2.02	0.37	0.10	1.35	0.01	12.84	1.63	8.40	8.40	9.91	0.93	1.37	1.37	1.38	126.08	1.07	1.18
FN_1_c	FN1002_	-1412.81	5.06	0.16	1.35	2.03	0.37	0.11	1.36	0.01	12.94	1.64	8.40	8.40	9.91	0.93	1.37	1.37	1.39	126.27	1.07	1.19
FN_1_c	FN1002_-01-FN1001A_	-1390.41	4.86	0.19	1.35	2.04	0.36	0.10	1.36	0.01	13.07	1.65	8.40	8.40	9.93	0.94	1.38	1.38	1.39	126.61	1.07	1.19
FN_1_c	FN1001A_	-1368.01	4.79	0.15	1.35	2.06	0.36	0.10	1.36	0.01	13.30	1.66	8.40	8.40	10.18	0.94	1.39	1.39	1.37	131.36	1.07	1.19
FN_1_c	FN1001B_	-1367.01	4.79	0.00	1.34	2.04	0.51	0.10	1.35	0.01	11.93	9999.99	7.58	7.58	16.60	1.24	0.95	0.95	1.04	118.24	1.06	1.15
FN_1_c	FN1001C_	-1354.09	4.79	0.00	1.33	2.04	0.50	0.10	1.34	0.01	11.90	9999.99	7.58	7.58	16.60	1.23	0.95	0.95	1.04	118.29	1.06	1.15
FN_1_c	FN1001D_	-1353.09	4.79	0.01	1.33	2.04	0.35	0.10	1.34	0.01	13.05	1.64	8.40	8.40	10.18	0.93	1.38	1.38	1.35	131.36	1.07	1.19
FN_1_c	FN1001E_	-1350.02	4.76	0.03	1.33	2.04	0.35	0.10	1.34	0.01	13.05	1.64	8.40	8.40	10.18	0.94	1.38	1.38	1.35	131.36	1.07	1.19
FN_1_c	FN1001_	-1320.17	4.60	0.29	1.33	2.05	0.35	0.09	1.33	0.01	13.11	1.64	8.40	8.40	10.19	0.94	1.38	1.38	1.36	131.63	1.07	1.19
FN_1_c	FN10011_	-1314.17	4.58	0.06	1.33	2.05	0.35	0.09	1.33	0.01	13.12	1.65	8.40	8.40	10.19	0.94	1.38	1.38	1.36	131.63	1.07	1.19
FN_2	FN2003_	-1535.80	1.00	-0.12	1.38	2.09	0.08	0.02	1.38	0.00	12.59	1.66	8.11	10.58	11.99	0.93	1.35	1.35	1.13	163.37	1.10	1.26
FN_2	FN2003_-01-FN2002_	-1520.47	1.15	-0.13	1.38	2.06	0.09	0.02	1.38	0.00	11.96	1.62	8.09	10.58	12.02	0.92	1.31	1.31	1.09	164.09	1.10	1.26

Tabulati verifica di progetto fosso Brugiano per Tr 200 anni

Tro	Sez	P[m]	q[mc/s]	s[mc/s]	h[m]	y[m]	V [m/s]	Fr	Et[m]	Ev[m]	Sp[t]	ym[m]	b[m]	bt[m]	B[m]	Pb[m]	A[dmq]	At[dmq]	R[m]	C2	beta	alfa
FN_2	FN2003_-02-FN2002_	-1505.14	1.29	-0.13	1.38	2.03	0.10	0.03	1.38	0.00	11.64	1.59	8.12	10.58	11.98	0.90	1.29	1.29	1.08	162.66	1.10	1.26
FN_2	FN2002_	-1489.80	1.36	-0.12	1.36	1.97	0.11	0.03	1.36	0.00	10.75	1.52	8.10	10.58	11.99	0.88	1.23	1.23	1.02	162.93	1.10	1.26
FN_2	FN2002_-01-FN2001_	-1475.80	1.39	-0.10	1.35	1.95	0.12	0.03	1.35	0.00	10.46	1.49	8.12	10.58	11.96	0.86	1.21	1.21	1.01	161.86	1.10	1.26
FN_2	FN2001_	-1461.80	1.39	-0.08	1.35	1.91	0.11	0.03	1.35	0.00	11.67	1.57	8.40	8.40	9.80	0.88	1.32	1.32	1.34	123.06	1.06	1.17
FN_2	FN20011_	-1448.30	1.38	-0.02	1.35	1.91	0.10	0.03	1.35	0.00	11.67	1.57	8.40	8.40	9.80	0.88	1.32	1.32	1.34	123.05	1.06	1.17
FN_2	FN10061_	-1436.60	1.36	0.00	1.36	1.98	0.10	0.03	1.36	0.00	12.34	1.61	8.40	8.40	9.86	0.91	1.35	1.35	1.37	124.86	1.06	1.18
FN_3	FN3002_	-1624.83	0.73	0.05	1.35	2.12	0.06	0.02	1.35	0.00	11.62	1.74	6.85	6.85	8.35	0.98	1.19	1.19	1.42	126.24	1.08	1.21
FN_3	FN3002_-01-FN3001A_	-1612.20	0.77	0.05	1.35	2.00	0.07	0.02	1.35	0.00	10.68	1.67	6.85	6.85	8.25	0.93	1.15	1.15	1.39	123.16	1.07	1.19
FN_3	FN3001A_	-1599.57	0.83	-0.06	1.36	1.91	0.06	0.02	1.36	0.00	11.66	1.57	8.40	8.40	9.80	0.88	1.32	1.32	1.34	123.02	1.06	1.17
FN_3	FN3001B_	-1598.57	0.83	0.00	1.36	1.60	0.45	0.26	1.36	0.01	4.98	0.84	14.42	14.42	17.55	0.56	0.89	0.89	0.51	210.49	1.34	2.04
FN_3	FN3001C_	-1593.00	0.83	0.00	1.36	1.61	0.45	0.26	1.36	0.01	5.02	0.87	14.42	14.42	17.55	0.56	0.89	0.89	0.51	209.39	1.33	2.04
FN_3	FN3001D_	-1592.00	0.84	-0.01	1.36	1.92	0.07	0.02	1.36	0.00	11.73	1.57	8.40	8.40	9.81	0.89	1.32	1.32	1.35	123.15	1.06	1.17
FN_3	FN3001D1	-1583.00	0.89	-0.04	1.36	1.94	0.07	0.02	1.36	0.00	11.97	1.59	8.40	8.40	9.83	0.90	1.33	1.33	1.36	123.85	1.06	1.17
FN_3	FN101011	-1582.50	0.89	0.00	1.36	1.94	0.07	0.02	1.36	0.00	11.97	1.59	8.40	8.40	9.84	0.90	1.33	1.33	1.36	123.94	1.06	1.17

Tabulati verifica di progetto fosso Brugiano per Tr 200 anni

sfiorat.	s[mc/s]	sfiorat.	s[mc/s]	sfiorat.	s[mc/s]	sfiorat.	s[mc/s]	sfiorat.	s[mc/s]	sfiorat.	s[mc/s]	sfiorat.	s[mc/s]	sfiorat.	s[mc/s]	sfiorat.	s[mc/s]	sfiorat.	s[mc/s]
SF0655	0.00	SF0734	0.00	SF0835	0.00	SF0936	-0.04	SF1105	0.00	SF1186	0.00	SF1265	0.00	SF1344	0.00	SF3042	0.07	SF5095	0.00
SF0656	0.00	SF0735	0.00	SF0836	0.00	SF0937	-0.04	SF1106	0.00	SF1187	0.00	SF1266	0.00	SF1345	0.00	SF3043	0.07	SF5096	0.00
SF0657	0.00	SF0736	0.01	SF0837	0.00	SF0938	-0.04	SF1107	0.00	SF1188	0.00	SF1267	0.00	SF1346	0.00	SF3044	-0.07	SF5097	0.00
SF0658	0.00	SF0737	0.00	SF0838	0.00	SF0966	-0.11	SF1108	0.00	SF1189	0.00	SF1268	0.00	SF1347	0.00	SF3045	-0.03	SF5098	0.00
SF0659	0.00	SF0738	0.00	SF0839	0.00	SF0967	-0.08	SF1109	0.00	SF1190	0.00	SF1269	0.00	SF1348	0.00	SF3046	-0.03	SF5099	0.00
SF0660	0.00	SF0739	0.00	SF0840	0.00	SF0968	-0.06	SF1110	0.00	SF1191	0.00	SF1270	0.00	SF1349	0.00	SF3047	-0.02	SF5100	0.00
SF0661	0.00	SF0740	0.01	SF0841	0.00	SF0969	0.00	SF1111	0.00	SF1192	0.48	SF1271	0.00	SF1350	0.00	SF3048	0.10	SF5101	0.00
SF0662	0.00	SF0741	0.00	SF0842	0.00	SF0970	0.00	SF1112	0.00	SF1193	0.00	SF1272	0.00	SF1351	0.00	SF3049	0.06	SF5102	0.00
SF0663	0.00	SF0742	0.01	SF0843	0.00	SF0971	0.00	SF1113	0.00	SF1194	0.00	SF1273	0.00	SF1352	0.00	SF3050	0.00	SF5103	0.00
SF0664	0.00	SF0743	0.01	SF0844	0.00	SF0972	0.00	SF1114	0.00	SF1195	0.00	SF1274	0.00	SF1353	0.00	SF3051	0.00	SF5104	0.00
SF0665	0.00	SF0744	0.04	SF0845	0.00	SF0973	0.00	SF1115	0.00	SF1196	0.00	SF1275	0.00	SF1354	0.00	SF3052	0.00	SF5105	0.00
SF0666	0.00	SF0745	0.01	SF0846	0.00	SF0974	0.00	SF1116	0.00	SF1197	0.00	SF1276	0.00	SF1355	0.00	SF3053	0.00	SF5106	0.00
SF0667	0.00	SF0746	0.17	SF0847	0.00	SF0975	0.00	SF1117	0.00	SF1198	0.00	SF1277	0.00	SF1356	-0.04	SF3054	-0.01	SF5107	0.00
SF0668	0.00	SF0747	0.01	SF0848	0.00	SF0976	0.00	SF1118	0.00	SF1199	-0.08	SF1278	0.00	SF1357	-0.05	SF3055	0.00	SF5108	0.00
SF0669	0.00	SF0748	0.01	SF0849	0.03	SF0977	0.00	SF1119	0.00	SF1200	0.00	SF1279	0.00	SF1358	0.00	SF3056	0.00	SF5109	0.00
SF0670	0.00	SF0749	0.00	SF0850	0.03	SF0978	0.00	SF1120	0.00	SF1201	0.00	SF1280	0.00	SF1359	0.00	SF3057	-0.03	SF5110	0.00
SF0671	0.00	SF0750	0.00	SF0851	0.02	SF0979	0.00	SF1123	0.00	SF1202	0.00	SF1281	0.00	SF1360	0.00	SF3058	0.00	SF5111	0.00
SF0672	0.00	SF0751	0.00	SF0852	0.00	SF0980	0.00	SF1124	0.00	SF1203	0.00	SF1282	0.00	SF1361	0.00	SF3059	0.00	SF5112	0.00
SF0673	0.00	SF0752	0.00	SF0853	0.00	SF0981	0.00	SF1125	0.00	SF1204	0.00	SF1283	0.00	SF1362	0.00	SF3060	-0.01	SF5113	0.00
SF0674	0.00	SF0753	0.00	SF0854	0.00	SF0982	0.00	SF1126	0.00	SF1205	0.00	SF1284	0.00	SF1363	0.00	SF3061	0.00	SF5114	0.00
SF0675	0.00	SF0754	0.00	SF0855	0.00	SF0983	0.00	SF1127	0.00	SF1206	0.00	SF1285	0.00	SF1364	0.00	SF3062	0.00	SF5115	0.00
SF0676	0.00	SF0755	0.00	SF0856	0.00	SF0984	0.00	SF1128	0.00	SF1207	0.00	SF1286	0.00	SF1365	0.00	SF3063	0.00	SF5116	0.00
SF0677	0.00	SF0756	0.00	SF0857	0.00	SF0985	0.00	SF1129	0.00	SF1208	0.00	SF1287	0.00	SF1366	0.00	SF3064	0.00	SF5117	0.00
SF0678	0.00	SF0757	0.00	SF0858	0.00	SF0986	0.00	SF1130	0.00	SF1209	0.00	SF1288	0.00	SF1367	0.00	SF3065	0.00	SF5118	0.00
SF0679	-0.02	SF0758	0.00	SF0859	0.00	SF0987	0.00	SF1131	0.00	SF1210	0.00	SF1289	0.00	SF1368	0.00	SF3066	0.00	SF5119	0.00
SF0680	-0.01	SF0759	0.00	SF0860	0.00	SF1015	0.00	SF1132	0.00	SF1211	0.00	SF1290	0.00	SF1369	0.00	SF3067	0.00	SF5120	0.00
SF0681	-0.02	SF0760	0.06	SF0861	0.00	SF1016	0.00	SF1133	0.00	SF1212	0.00	SF1291	0.00	SF1370	0.00	SF3068	0.00	SF5121	0.00
SF0682	-0.03	SF0761	0.01	SF0862	0.00	SF1017	0.00	SF1134	0.00	SF1213	0.00	SF1292	0.00	SF1371	0.00	SF3069	0.00	SF5122	0.00
SF0683	-0.04	SF0762	0.15	SF0863	0.00	SF1018	0.00	SF1135	0.00	SF1214	-0.10	SF1293	0.00	SF1372	0.00	SF3070	0.00	SF5123	0.00
SF0684	-0.05	SF0763	0.13	SF0864	0.00	SF1019	0.00	SF1136	0.00	SF1215	0.00	SF1294	0.00	SF1373	0.00	SF3071	0.00	SF5124	0.00
SF0685	0.02	SF0764	0.00	SF0865	0.00	SF1020	0.00	SF1137	0.00	SF1216	0.00	SF1295	0.00	SF1374	0.00	SF3072	0.00	SF5125	0.00
SF0686	0.00	SF0765	0.00	SF0866	0.00	SF1021	0.00	SF1138	0.00	SF1217	0.00	SF1296	0.00	SF1375	0.00	SF3073	0.00	SF5126	0.00
SF0687	0.00	SF0766	0.00	SF0867	0.01	SF1022	0.00	SF1139	0.00	SF1218	0.00	SF1297	0.00	SF1376	0.00	SF3074	0.00	SF5127	0.00
SF0688	0.00	SF0767	0.00	SF0868	0.00	SF1023	0.00	SF1140	0.00	SF1219	0.00	SF1298	0.00	SF1377	0.00	SF3075	0.00	SF5128	0.00
SF0689	0.00	SF0768	0.00	SF0869	0.02	SF1024	0.00	SF1141	0.00	SF1220	0.00	SF1299	0.00	SF1378	0.00	SF3076	0.00	SF5129	0.00
SF0690	0.00	SF0769	0.00	SF0870	0.00	SF1025	0.00	SF1142	0.00	SF1221	0.00	SF1300	0.00	SF1379	0.00	SF3077	0.00	SF5130	0.00
SF0691	0.00	SF0770	0.00	SF0871	0.00	SF1026	0.00	SF1143	0.00	SF1222	0.00	SF1301	0.00	SF1380	0.00	SF3078	0.00	SF5131	0.00
SF0692	0.00	SF0771	0.00	SF0872	0.00	SF1027	0.00	SF1144	0.00	SF1223	-0.01	SF1302	-0.01	SF3000	0.04	SF3079	0.00	SF5132	0.00
SF0693	0.00	SF0772	0.00	SF0873	0.00	SF1028	0.00	SF1145	0.00	SF1224	-0.01	SF1303	0.00	SF3001	0.00	SF3080	0.00	SF5133	0.00
SF0694	0.00	SF0773	0.00	SF0874	0.00	SF1029	0.00	SF1146	0.00	SF1225	-0.01	SF1304	0.04	SF3002	0.00	SF3081	0.00	SF5134	0.00

Tabulati verifica di progetto fosso Brugiano per Tr 200 anni

sfiorat.	s[mc/s]	sfiorat.	s[mc/s]	sfiorat.	s[mc/s]	sfiorat.	s[mc/s]	sfiorat.	s[mc/s]	sfiorat.	s[mc/s]	sfiorat.	s[mc/s]	sfiorat.	s[mc/s]	sfiorat.	s[mc/s]	sfiorat.	s[mc/s]
SF0695	0.00	SF0774	0.00	SF0875	0.02	SF1030	0.00	SF1147	0.01	SF1226	0.00	SF1305	0.01	SF3003	0.06	SF3082	0.00	SF5135	0.00
SF0696	0.00	SF0775	0.00	SF0876	0.03	SF1031	0.00	SF1148	0.06	SF1227	0.02	SF1306	0.12	SF3004	0.00	SF3083	0.00	SF5136	0.00
SF0697	0.00	SF0776	0.00	SF0877	-0.20	SF1032	0.00	SF1149	0.00	SF1228	0.02	SF1307	0.13	SF3005	0.00	SF3084	0.02	SF5137	0.00
SF0698	0.00	SF0777	-0.10	SF0878	0.00	SF1033	0.00	SF1150	0.00	SF1229	0.03	SF1308	0.11	SF3006	0.00	SF3085	0.17	SF5138	0.00
SF0699	0.00	SF0778	-0.03	SF0901	0.00	SF1034	0.00	SF1151	0.00	SF1230	-0.07	SF1309	0.05	SF3007	0.00	SF3086	0.03	SF5139	0.00
SF0700	0.00	SF0779	-0.04	SF0902	0.00	SF1035	0.00	SF1152	0.00	SF1231	0.07	SF1310	0.02	SF3008	-0.08	SF3087	0.00	SF5140	0.00
SF0701	0.00	SF0780	-0.01	SF0903	0.00	SF1036	0.00	SF1153	0.00	SF1232	0.07	SF1311	0.04	SF3009	-0.04	SF3088	-0.03	SF5141	0.00
SF0702	0.00	SF0781	0.04	SF0904	0.00	SF1037	0.00	SF1154	0.00	SF1233	0.07	SF1312	0.04	SF3010	-0.07	SF3089	0.00	SF5142	0.00
SF0703	0.00	SF0782	0.05	SF0905	0.00	SF1038	-0.02	SF1155	0.00	SF1234	0.00	SF1313	0.04	SF3011	-0.05	SF3090	0.00	SF5143	0.00
SF0704	0.00	SF0783	0.07	SF0906	0.00	SF1039	-0.01	SF1156	0.00	SF1235	0.07	SF1314	0.04	SF3012	-0.06	SF3091	0.00	SF5144	0.00
SF0705	0.00	SF0784	0.00	SF0907	0.00	SF1040	-0.02	SF1157	0.00	SF1236	0.15	SF1315	0.02	SF3013	-0.06	SF3092	0.00	SF5145	0.00
SF0706	0.00	SF0785	0.00	SF0908	0.00	SF1058	0.00	SF1158	0.00	SF1237	0.11	SF1316	0.04	SF3014	0.06	SF3093	0.00	SF5146	0.00
SF0707	0.00	SF0786	0.00	SF0909	0.00	SF1059	0.00	SF1159	0.00	SF1238	0.10	SF1317	0.04	SF3015	-0.07	SF3094	-0.04	SF5147	0.00
SF0708	0.00	SF0787	0.00	SF0910	0.00	SF1060	0.00	SF1160	0.00	SF1239	0.03	SF1318	0.01	SF3016	-0.07	SF3095	-0.12	SF5148	0.00
SF0709	0.00	SF0788	0.00	SF0911	0.00	SF1061	0.00	SF1161	0.00	SF1240	0.01	SF1319	0.00	SF3017	-0.03	SF3096	-0.13	SF5149	0.00
SF0710	0.00	SF0789	0.00	SF0912	0.00	SF1062	0.00	SF1162	0.00	SF1241	-0.01	SF1320	0.00	SF3018	0.02	SF3097	-0.13	SF5150	0.00
SF0711	-0.06	SF0790	0.00	SF0913	0.00	SF1063	0.00	SF1163	0.00	SF1242	-0.12	SF1321	-0.03	SF3019	-0.02	SF3098	-0.12	SF5151	0.00
SF0712	-0.09	SF0791	0.00	SF0914	0.00	SF1064	0.00	SF1164	0.00	SF1243	-0.21	SF1322	0.00	SF3020	0.05	SF3099	-0.10	SF5152	0.00
SF0713	-0.12	SF0792	0.00	SF0915	0.00	SF1065	0.00	SF1165	0.00	SF1244	0.27	SF1323	0.00	SF3021	0.05	SF3100	-0.08	SF5153	0.00
SF0714	-0.17	SF0793	0.00	SF0916	0.00	SF1066	0.00	SF1166	0.04	SF1245	0.23	SF1324	-0.07	SF3022	0.23	SF3101	0.00	SF5154	0.00
SF0715	-0.13	SF0794	0.00	SF0917	0.00	SF1067	0.00	SF1167	0.00	SF1246	0.00	SF1325	0.00	SF3023	0.41	SF3102	0.00	SF5155	0.00
SF0716	-0.14	SF0795	0.00	SF0918	0.00	SF1068	0.16	SF1168	0.00	SF1247	0.00	SF1326	0.00	SF3024	0.41	SF3103	0.00	SF5156	0.00
SF0717	-0.02	SF0796	0.00	SF0919	0.00	SF1069	-0.05	SF1169	0.00	SF1248	0.00	SF1327	0.00	SF3025	0.34	SF3104	0.00	SF5157	0.00
SF0718	0.00	SF0797	0.00	SF0920	0.00	SF1070	-0.05	SF1170	0.00	SF1249	0.00	SF1328	0.00	SF3026	0.16	SF3105	0.00	SF5158	0.00
SF0719	0.00	SF0798	0.00	SF0921	0.00	SF1071	0.00	SF1171	0.00	SF1250	0.00	SF1329	0.00	SF3027	0.19	SF3106	0.00	SF5159	0.00
SF0720	0.00	SF0799	0.00	SF0922	0.00	SF1072	0.00	SF1172	0.00	SF1251	0.00	SF1330	0.00	SF3028	0.15	SF3107	0.00	SF5160	0.00
SF0721	0.00	SF0800	0.00	SF0923	-0.05	SF1073	0.00	SF1173	0.00	SF1252	0.00	SF1331	0.00	SF3029	0.00	SF5082	0.00	SF5161	0.00
SF0722	0.03	SF0801	0.00	SF0924	-0.06	SF1074	0.00	SF1174	0.00	SF1253	0.00	SF1332	0.00	SF3030	0.01	SF5083	0.00	SF5162	0.00
SF0723	0.00	SF0802	0.00	SF0925	-0.06	SF1075	0.00	SF1175	0.00	SF1254	0.00	SF1333	0.00	SF3031	0.13	SF5084	0.00	SF5163	0.00
SF0724	-0.04	SF0803	0.00	SF0926	-0.06	SF1076	0.00	SF1176	0.00	SF1255	0.00	SF1334	0.00	SF3033	0.03	SF5085	0.00	SF5164	0.00
SF0725	-0.07	SF0804	0.00	SF0927	0.00	SF1077	0.00	SF1177	0.00	SF1256	0.00	SF1335	0.00	SF3033	0.02	SF5086	0.00	SF5165	0.00
SF0726	-0.05	SF0805	0.00	SF0928	0.00	SF1078	0.00	SF1178	0.00	SF1257	0.00	SF1336	0.01	SF3034	0.00	SF5087	0.00	SF5166	0.00
SF0727	-0.08	SF0806	0.00	SF0929	0.00	SF1079	0.00	SF1179	0.00	SF1258	0.00	SF1337	0.00	SF3035	0.05	SF5088	0.00		
SF0728	-0.09	SF0807	0.00	SF0930	0.00	SF1080	0.00	SF1180	0.00	SF1259	0.00	SF1338	0.00	SF3036	0.05	SF5089	0.00		
SF0729	-0.06	SF0808	0.00	SF0931	0.00	SF1081	0.00	SF1181	0.00	SF1260	0.00	SF1339	0.00	SF3037	-0.06	SF5090	0.00		
SF0730	0.00	SF0809	0.00	SF0932	0.00	SF1082	-0.01	SF1182	0.00	SF1261	0.00	SF1340	0.00	SF3038	-0.01	SF5091	0.00		
SF0731	-0.05	SF0810	0.00	SF0933	0.00	SF1083	-0.03	SF1183	0.00	SF1262	0.00	SF1341	0.00	SF3039	-0.04	SF5092	0.00		
SF0732	-0.06	SF0833	0.00	SF0934	0.00	SF1103	0.02	SF1184	0.00	SF1263	0.00	SF1342	0.00	SF3040	-0.03	SF5093	0.00		
SF0733	0.00	SF0834	0.00	SF0935	0.00	SF1104	0.13	SF1185	0.00	SF1264	0.00	SF1343	0.00	SF3041	-0.06	SF5094	0.00		

Tabulati verifica di progetto fosso Brugiano per Tr 200 anni

Cassa	H [m]	V [mc]	s[mc/s]		Paratoia	s[mc/s]		Idrovora	s[mc/s]
mare	0.70	0.00	0.00		PO0072_	0.00		ID003_	3.25
massa	1.10	20201.43	5.89		PO0073_	0.00		ID004_	3.25
					PO0074_	0.00			
					PO0076_	0.00			
					PO0077_	0.00			
					PO0078_	0.00			
					PO0079_	0.00			
					PO0080_	0.00			
					PO0081_	0.00			
					PO0082_	0.00			
					PO0083_	0.00			
					PO0084_	0.00			
					PO0085_	0.00			
					PO0086_	0.00			
					PO0087_	0.00			
					PO0075_	0.00			